

072 – Bacino Idrografico del Fiume Imera Meridionale

PROF. ING.
GABRIELE FRENI

Indice

1	<i>Premessa</i>	2
2	<i>Sintesi dell'inquadramento morfologico e territoriale.....</i>	3
3	<i>Valutazione delle variabili climatiche e di consumo di suolo</i>	12
4	<i>Valutazione della suscettibilità dei bacini alle piene lampo.....</i>	22
5	<i>Valutazione della suscettibilità delle piene ai trend climatici</i>	34
6	<i>Modifiche alle misure di piano</i>	36
	6.1	Aggiornamento della valutazione dei punteggi tecnici alle misure inserite nel piano in relazione alla valutazione del cambiamento climatico.....36
	6.2	Proposta di nuove misure per la mitigazione delle piene lampo e dell'impatto del cambiamento climatico.....36

1 Premessa

L'appendice alla relazione fornisce, per ciascun bacino o area territoriale omogenea, l'inquadramento morfologico utile alla valutazione del rischio di piene lampo attraverso l'applicazione della metodologia geomorfologica Arno (Brugioni et al., 2010)¹. Per una più ampia discussione sulle caratteristiche morfologiche e sull'inquadramento geografico ed amministrativo del bacino, si rimanda alla relazione generale del Piano di Gestione del Rischio Alluvioni.

In particolare, successivamente alla delimitazione di tutti i sottobacini con superficie superiore ai 2 kmq e, in generale, inferiore ai 15 kmq, si è proceduto alla valutazione degli indicatori morfologici utili alla stima del rischio di piene lampo: l'area del sottobacino ed il tempo di lag. E' stata quindi analizzata la variabile indice idrologica (il tempo di ritorno delle piogge intense di durata pari ad un'ora e volume pari a 50mm) che è stata considerata un'adeguata "proxy" della frequenza con cui si manifestano eventi meteorici brevi ed intensi che possono determinare piene lampo. Infine, come ulteriore fattore predisponente, si è adoperato il grado di consumo di suolo per ciascun sottobacino espresso come il rapporto tra l'area consumata e l'area totale. Questi ultimi due indicatori, essendo soggetti a variabilità nel tempo per variazioni climatiche o per intervento antropico, sono stati valutati nelle condizioni attuali e nello scenario di medio periodo al 2050. Per ciascun fattore sono state determinate 4 classi attribuendo un punteggio da 1 a 4 dove i valori più bassi rappresentano una condizione di minore suscettibilità al fenomeno delle piene lampo. E' stata poi effettuata una media aritmetica dei punteggi per ciascun bacino reputando che i fattori siano equipollenti nella determinazione del rischio di piene lampo.

Per i tratti fluviali caratterizzati da bacini drenati di maggiori dimensioni, si è proceduto ad una seconda analisi di valutazione dell'impatto del cambiamento climatico valutando il tempo di corrivazione (in analogia alla metodologia Arno) per il bacino drenato da ciascuna asta fluviale e assumendo come variabile di riferimento la variazione media areale (allo scenario 2050) delle altezze di pioggia di massima intensità annua e durata più prossima al tempo di corrivazione.

A seguito delle valutazioni analitiche, un apposito paragrafo evidenzia l'opportunità di integrare le misure previste dal piano con azioni specifiche volte alla mitigazione del rischio di piene lampo e dell'impatto del cambiamento climatico.

¹ M. Brugioni, B. Mazzanti and S. Franceschini (2010). How meaningful is flash flood risk mapping? - Arno River Basin Authority. WG F Thematic Workshop on Implementation of the Floods Directive 2007/60/EC "FLASH FLOODS AND PLUVIAL FLOODING", 26th – 28th May 2010, Cagliari, Italy.

2 Sintesi dell'inquadramento morfologico e territoriale

Il bacino idrografico del Fiume Imera Meridionale o Salso rappresenta il secondo corso d'acqua della Sicilia, sia per l'ampiezza del bacino che per la lunghezza dell'asta principale. Si localizza nella porzione centrale del versante meridionale dell'isola e ha una forma allungata in senso N-S, occupando una superficie complessiva di circa 2000 km². Il bacino dell'Imera Meridionale, per effetto della sua notevole estensione, è caratterizzato da un assetto morfologico variabile. L'andamento altimetrico del territorio risulta piuttosto regolare con progressiva diminuzione delle quote procedendo da Nord verso Sud e cioè dalle falde del gruppo montuoso delle Madonie verso la fascia costiera.

Il Fiume Imera Meridionale, lungo circa 132 Km, nasce a Portella Mandarinì (1500 m) sul versante meridionale delle Madonie e, dopo aver attraversato la Sicilia centromeridionale, sfocia nel Canale di Sicilia in corrispondenza dell'abitato di Licata, in provincia di Agrigento. Nella parte montana, denominato all'inizio Torrente Mandarinì e poi Fiume di Petralia, mostra un andamento a tratti rettilineo e a tratti sinuoso, con modesti tributari di limitato sviluppo in lunghezza ad esclusione del Torrente Alberi - S.Giorgio e del Fiume Vaccarizzo, quest'ultimo alimentato dal Torrente della Cava.

L'asta principale, che presenta nella parte mediana un andamento generalmente sinuoso con locali meandri, scorre in senso N-S sebbene siano presenti due variazioni di direzione: la prima verso Ovest alla confluenza del Fiume Torcicoda e la seconda, più a valle, verso Sud in corrispondenza della confluenza del Vallone Furiana. Il sistema di drenaggio è qui più sviluppato rispetto al tratto montano, pur conservando ancora una fisionomia di scarsa maturità.

Nella parte terminale, già nel tratto a Sud del centro abitato di Ravanusa, i meandri diventano più ampi e frequenti, sebbene il grado di maturità del sistema idrografico risulti tuttavia ancora modesto; qui il corso d'acqua attraversa alluvioni recenti e terrazze che si raccordano con i depositi alluvionali della Piana di Licata dove il fiume presenta il suo massimo sviluppo meandriforme.

Lungo il suo percorso riceve gli apporti di numerosi corsi d'acqua secondari ed accoglie i deflussi di un considerevole numero di linee di drenaggio minori. Alcuni di tali corsi d'acqua drenano bacini di significativa estensione che si localizzano principalmente in sinistra idrografica. I maggiori affluenti sono:

- in sinistra idrografica:
 - Acqua Amara e si sviluppa per circa 28 Km fino alla confluenza con l'asta principale in località Ponte Cinque Archi, ad una quota di circa 340 metri. Durante il suo percorso riceve le acque del Fiume Gangi, l'unico affluente di una certa importanza;
 - il Fiume Morello è tra i maggiori tributari del Fiume Imera Meridionale sia per sviluppo del corso d'acqua che per estensione del bacino di drenaggio; nasce nel territorio comunale di Nicosia e confluisce ad una quota di circa 270 metri nell'Imera Meridionale, poco a valle del Ponte Capodarso. Nei pressi di Monte di Cozzo Ferrara, al confine tra il territorio di Villarosa ed Enna, il fiume presenta uno sbarramento che dà origine al serbatoio Villarosa.

- il Fiume Torcicoda si origina dal versante meridionale del rilievo su cui sorge Enna e dall'altopiano di Pergusa, dove si ha l'omonimo lago, con il nome di Vallone Cateratta e scorre in direzione NE-SW sino alla confluenza con l'asta principale localizzata poco più a valle di quella del Fiume Morello, ad una quota di circa 260 m;
- il Torrente Braemi nasce a Portella Grottacalda con il nome di Torrente Forma e successivamente con quello di Torrente Olivo, sviluppandosi complessivamente per circa 35 Km e sfociando nell'Imera Meridionale nei pressi di Molino di Iusa. Il Torrente Olivo in C.da Critti, a circa 400 metri, presenta uno sbarramento che dà origine al Lago Torrente Olivo;
- il Torrente Carusa nasce nel territorio di Piazza Armerina, scorre in direzione NE-SW e sfocia nell'asta principale nei pressi di C.da Zubbia. Con il nome di Torrente Tardara attraversa il territorio a nord dell'abitato di Barrafranca drenando versanti prevalentemente argillosi.
- In destra idrografica:
 - il Vallone Arenella scorre in direzione W-E su terreni prevalentemente argillosi, presenta un reticolo generalmente dendritico e confluisce nell'asta principale in località Stazione di Imera a circa 300 metri;
 - il Vallone Furiana nasce a Sud di Serra Canicassè, ad una quota di circa 278 metri, dalla confluenza del Fosso Bifaria e del Vallone dell'Anguilla, rispettivamente in sinistra e in destra idrografica. Drena versanti costituiti prevalentemente da termini argillosi della serie gessoso-solfifera e sfocia nel Salso a circa 197 metri di quota;
 - Il Fiume Gibbesi, denominato all'origine Fiume Delia, ha uno sviluppo di circa 28 Km, scorre su versanti di natura prevalentemente argillosa e sfocia nell'Imera Meridionale ad una quota di circa 100 metri. Lungo il suo percorso, e precisamente tra le C.de Canalotto e Gibbesi Vecchio, rispettivamente nei territori comunali di Sommatino (CL) e Naro (AG), presenta uno sbarramento che dà origine all'invaso Gibbosi;
 - Il Torrente Mendola, detto anche Torrente Favarotta o Casale, la cui lunghezza complessiva è di circa 21 Km, è il maggiore tributario del tratto terminale dell'Imera Meridionale. Scorre con prevalente direzione N-S attraversando il territorio di Campobello di Licata per confluire nel fiume Imera Meridionale a pochi chilometri dalla foce.

Le quote più elevate dello spartiacque si localizzano a settentrione in corrispondenza della dorsale meridionale delle Madonie che separa il versante tirrenico dal resto dell'isola. In questo settore i rilievi principali da Ovest verso Est sono rappresentati dal Monte Catuso (1042 m), Serra di Puccia (1052 m), Monte Salvatore (19012 m), Pizzo Catarineci (1660 m), Pizzo di Corvo (1642 m), Monte di Corvo (1242 m), Monte Zimmara (1333 m), Pizzo Gallo (1162 m), Monte Altesina (1192 m).

La Tavola 1 inquadra territorialmente il bacino e ne fornisce alcune caratteristiche salienti. La Tavola 2 fornisce il dato relativo all'altimetria sulla base del

Modello Digitale delle Elevazioni recentemente predisposto dal Dipartimento dei Servizi Tecnici Nazionali e avente risoluzione spaziale pari a 10 m.

Le successive Tavole 3, 4 e 5 definiscono le funzioni di:

- Lunghezza dei percorsi di drenaggio dalla displuviale alla foce
- Flow Accumulation ovvero la superficie del bacino drenato da ciascun elemento del reticolo idrografico delineato
- Le pendenze dei versanti

L'insieme di questi elementi morfologici ha consentito di individuare i sottobacini drenati da ciascuna porzione del reticolo idrografico. Complessivamente sono stati individuati 87 sottobacini su cui si è proceduto, nel paragrafo successivo a stimare i fattori predisponenti al rischio di piene lampo catalogando i sottobacini in 4 classi di Suscettibilità. Come previsto nel metodo, in considerazione della notevole estensione del bacino, i tratti fluviali che superano i 500 km² di bacino tributario non sono stati considerati nell'analisi di suscettibilità alle piene lampo.

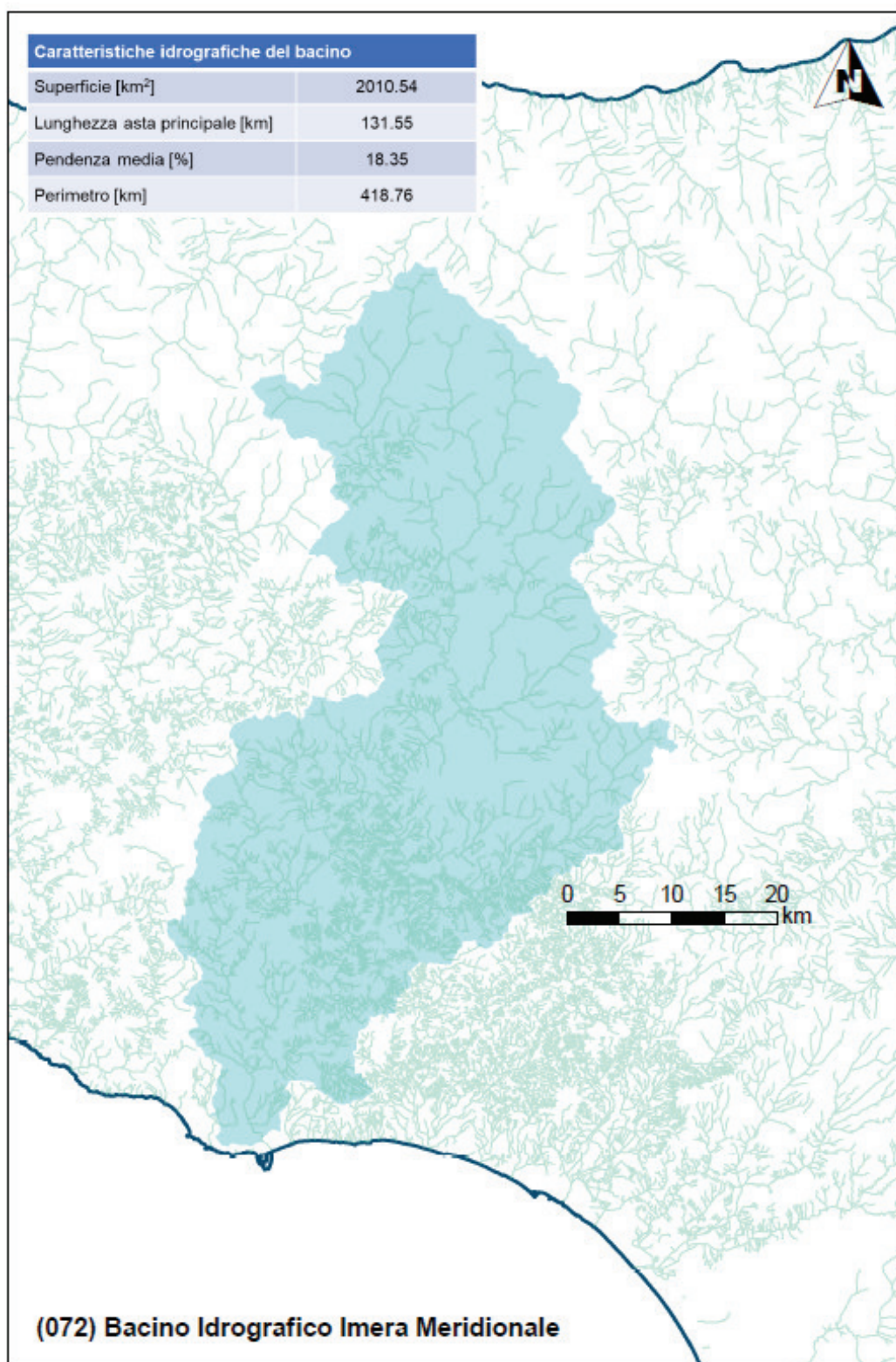


Figura 1 Inquadramento Territoriale del bacino

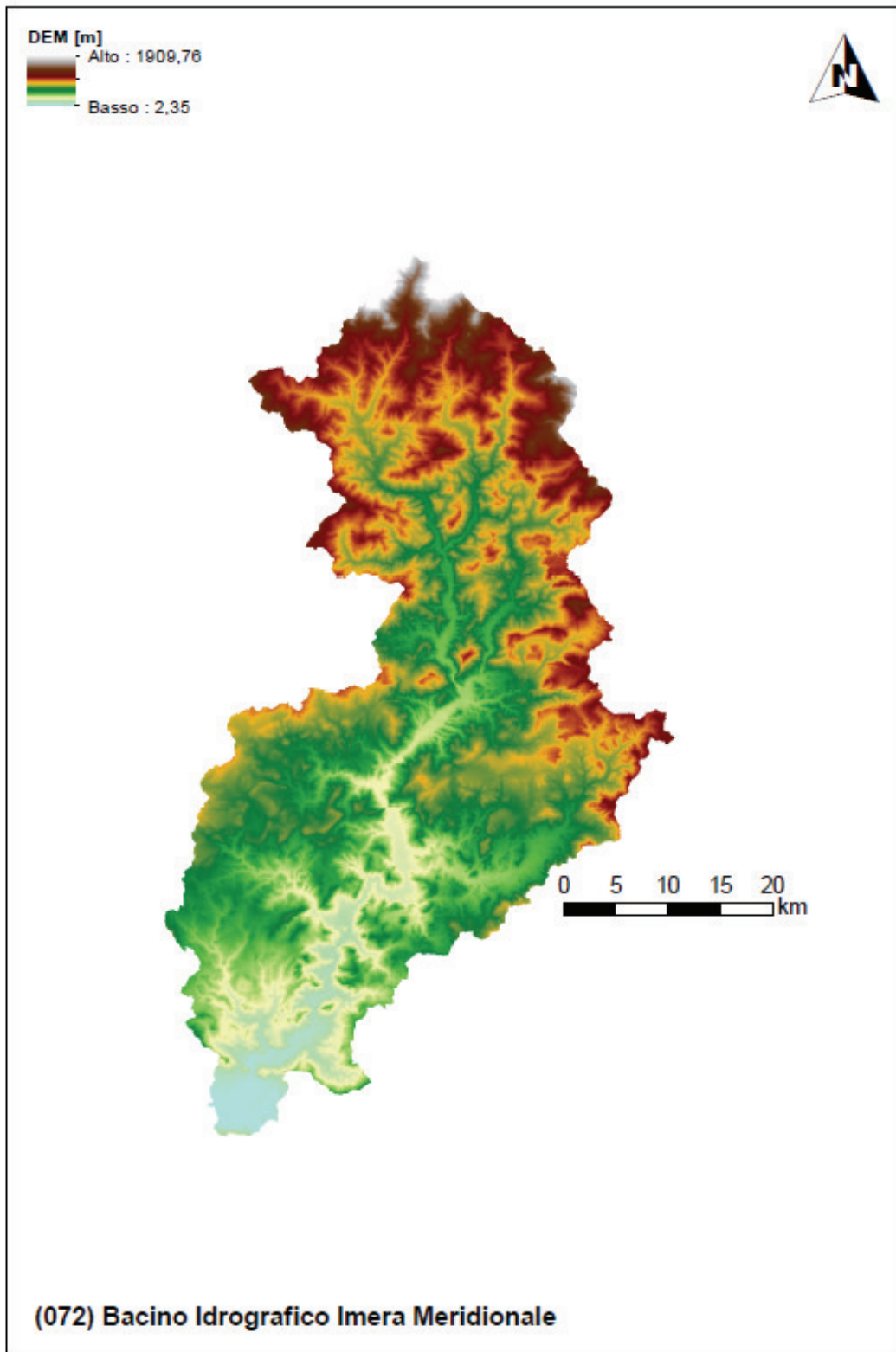


Figura 2 Modello digitale delle elevazioni con risoluzione spaziale pari a 10 m

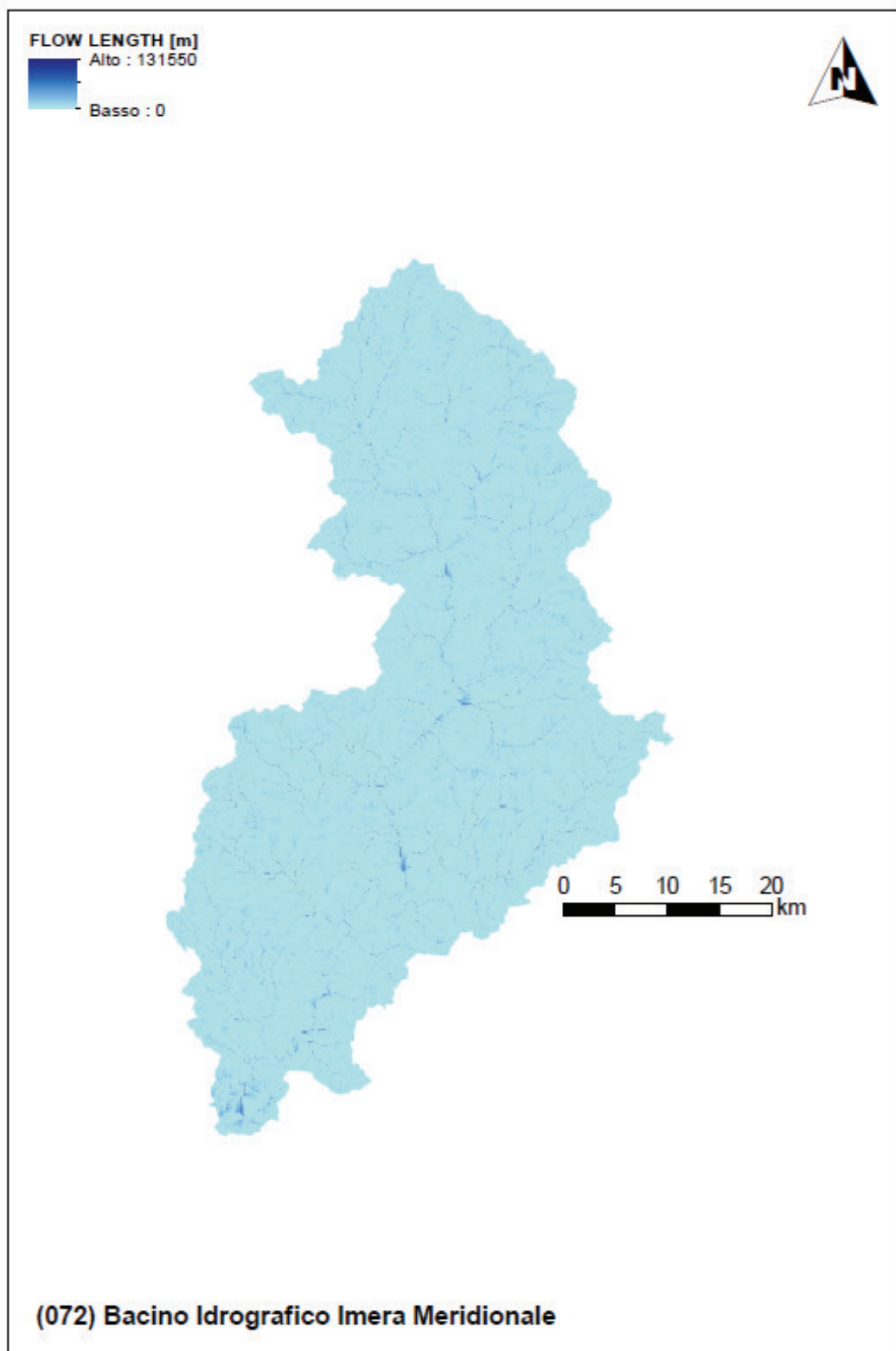


Figura 3 Lunghezze dei percorsi di drenaggio sulla base del modello digitale delle elevazioni

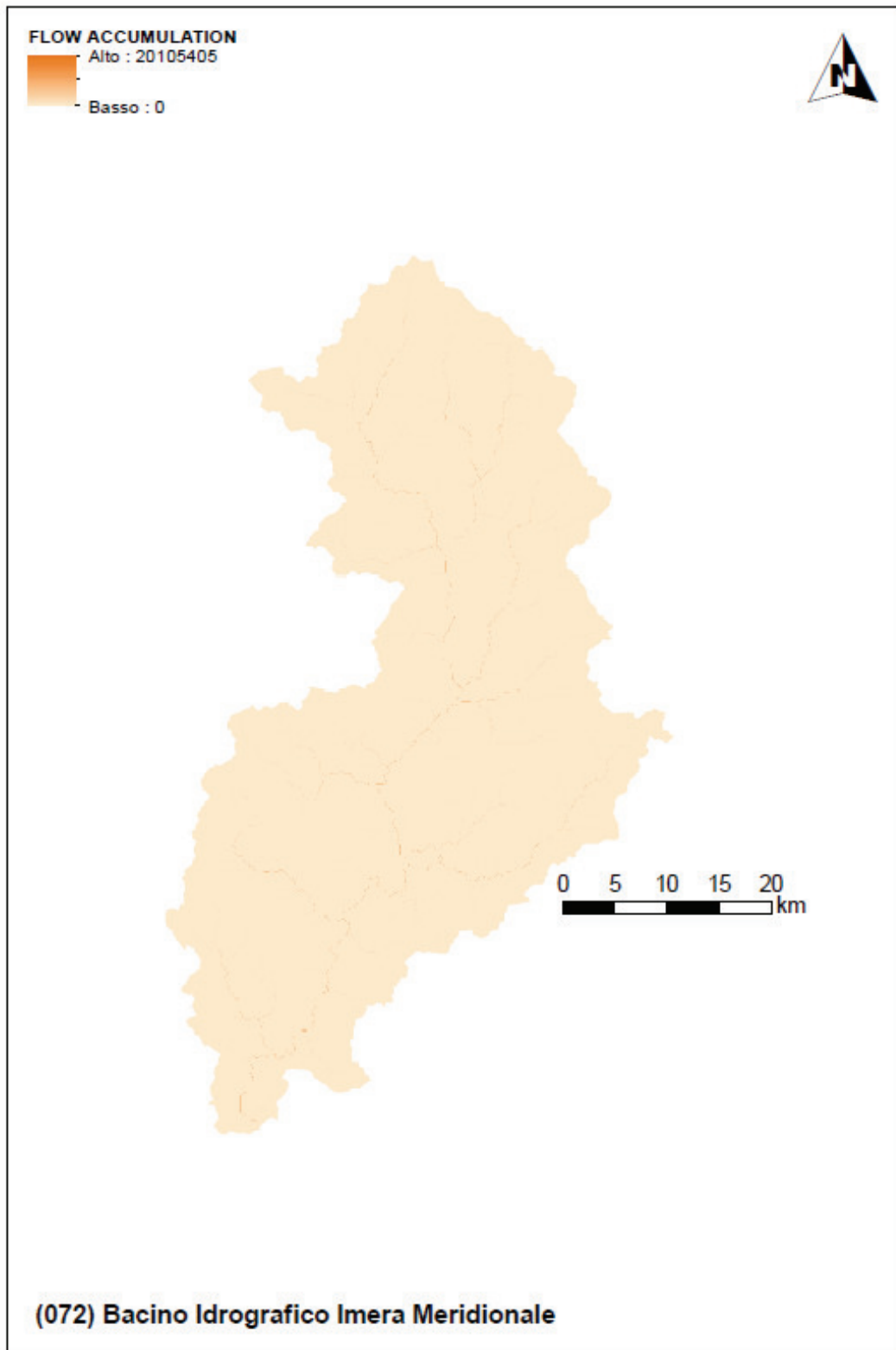


Figura 4 Funzione Flow Accumulation del bacino

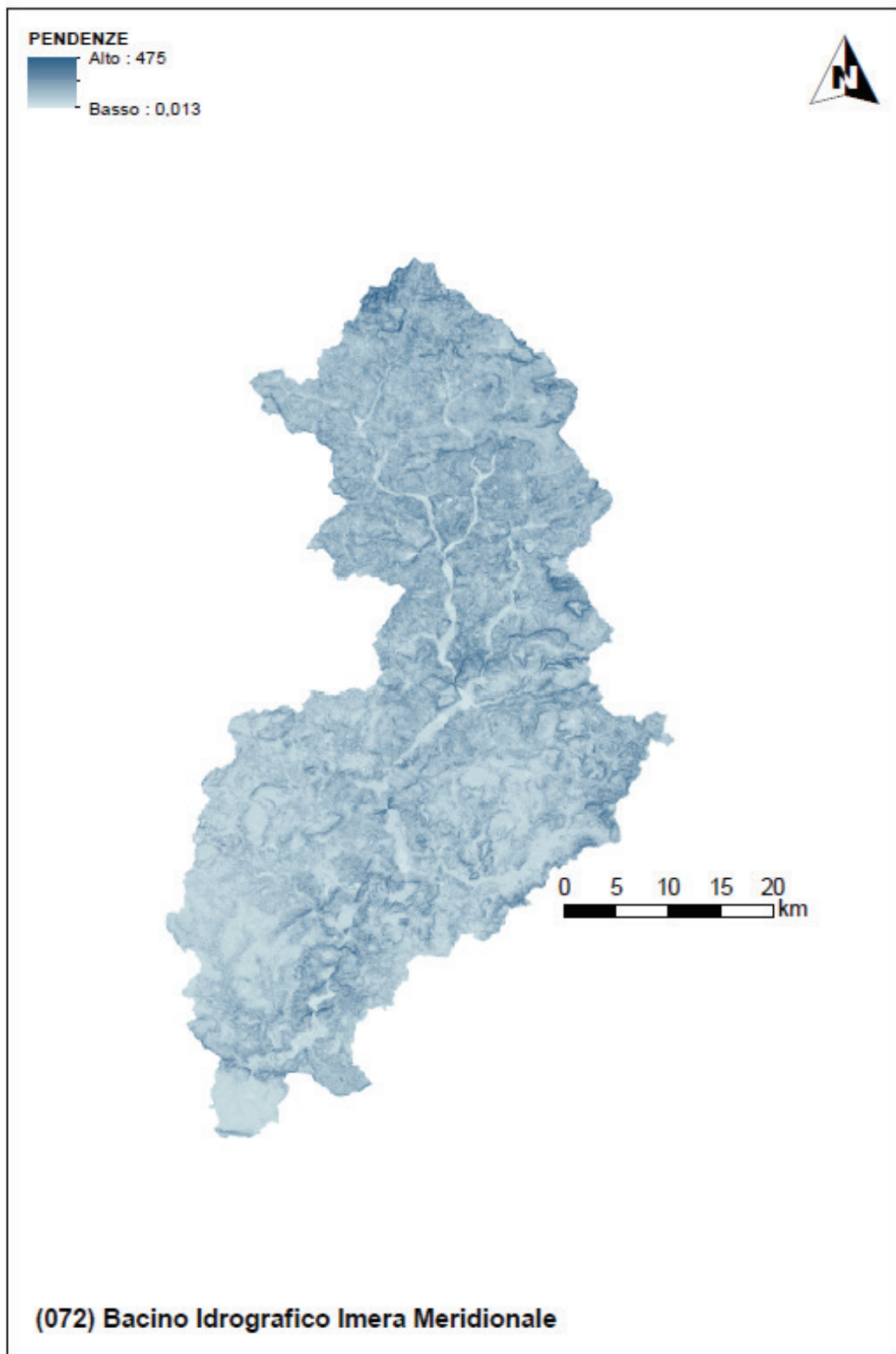


Figura 5 Carta delle pendenze [%] sulla base del modello digitale delle elevazioni con risoluzione spaziale pari a 10 m

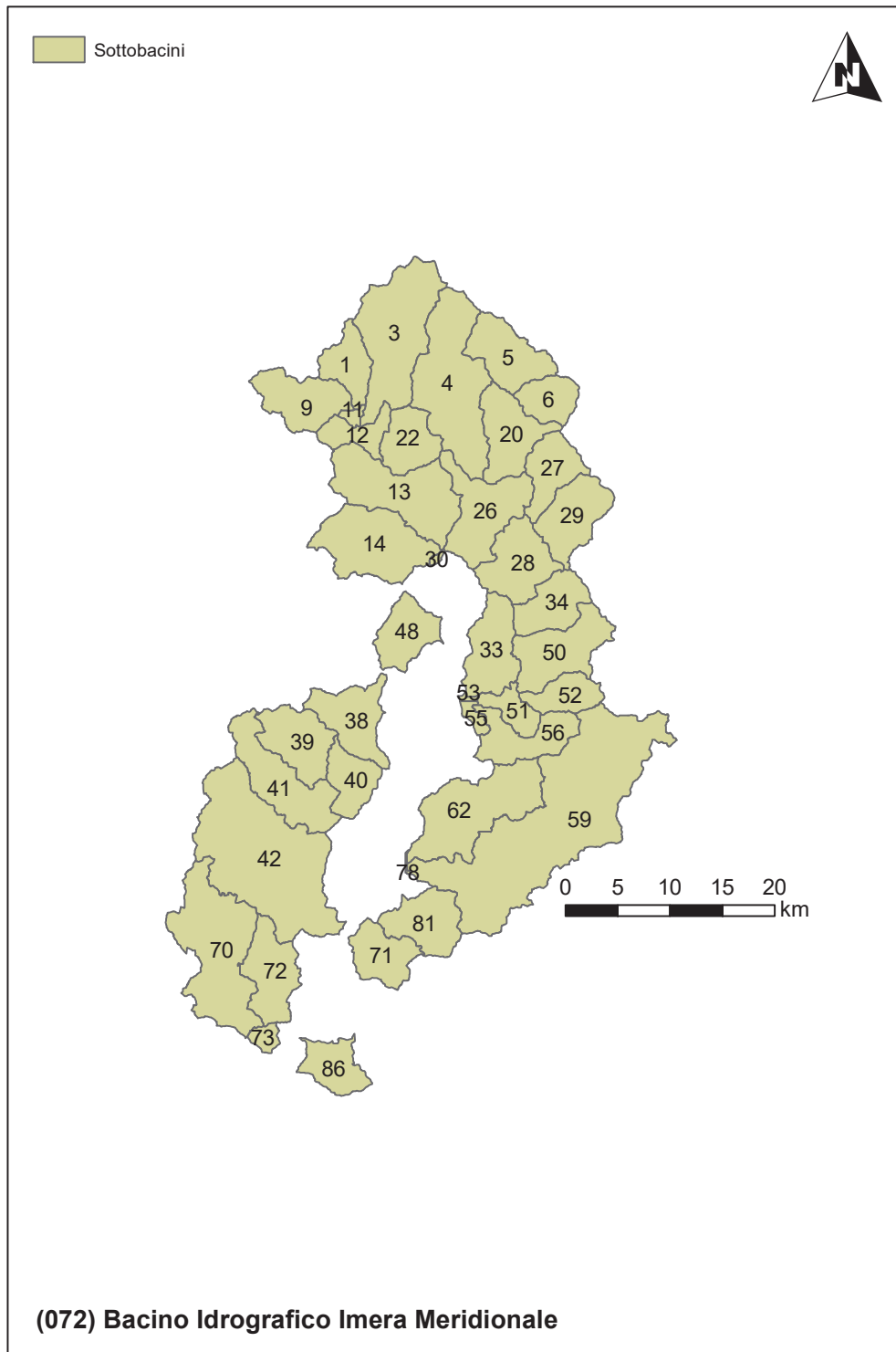


Figura 6 Delimitazione dei sottobacini sulla base delle caratteristiche morfologiche e della densità di drenaggio

3 Valutazione delle variabili climatiche e di consumo di suolo

Come ampiamente discusso nella relazione generale, l'analisi climatica è stata sviluppata in due fasi:

- L'analisi del trend sul tempo di ritorno della variabile indice (altezza di pioggia pari a 50 mm in un'ora) stimato attraverso l'applicazione della GEV a subset di dati di dimensioni progressivamente crescenti inglobando gli ultimi dati registrati disponibili;
- L'analisi del trend climatico sulle serie di piogge di massima intensità annuale e fissata durata.

La prima analisi è stata effettuata perché funzionale alla stima del rischio di piene lampo e dell'evoluzione di tale rischio nello scenario di cambiamento climatico di medio termine (2050).

I tempi di ritorno risultano medio-bassi (in generale inferiori a 25 anni) incidendo negativamente sul rischio di piene lampo nel bacino. Non manifestano significative variazioni nello scenario climatico di medio termine e ciò non determina aggravamenti del quadro della suscettibilità del bacino alle piene improvvise.

La seconda analisi è stata effettuata perché funzionale alla stima dell'impatto climatico sulle altre piene che possono interessare il reticolo idrografico (per bacini superiori a 20 km²).

I trend riscontrati si evidenziano significativi (con livello di significatività pari a 0.05) solo per durate elevate (12h e 24h); per queste durate, il trend è positivo e in taluni casi anche in modo significativo. Per le durate minori, solo piccole aree del bacino manifestano un trend significativo e debolmente negativo.

L'analisi climatica finalizzata alla valutazione del rischio di piene lampo è stata anche integrata con la valutazione del consumo di suolo ad oggi (dati 2019) e, sulla base della tendenza media del periodo 2012 – 2019, allo scenario di medio termine (2050). La tendenza media del periodo 2012 – 2019 è stata proiettata al fine di valutare l'area che, bacino per bacino, presumibilmente sarà consumata al 2050

I dati mostrano un consumo di suolo poco pronunciato se non nelle aree peri-urbane. Ovviamente i sottobacini montani evidenziano valori assai modesti (2%-3%) e legati alla natura montuosa e sostanzialmente rurale delle aree considerate.

Il trend di consumo del suolo mostra sempre un andamento positivo con ratei di crescita annui in generale assai esigui. Lo scenario al 2050 mostra una crescita massima del 1.0% rispetto al 2020 che rappresenta un valore comunque modesto sebbene positivo.

Le seguenti tavole riportano i risultati delle elaborazioni sul bacino che saranno poi utilizzate per le successive valutazioni.

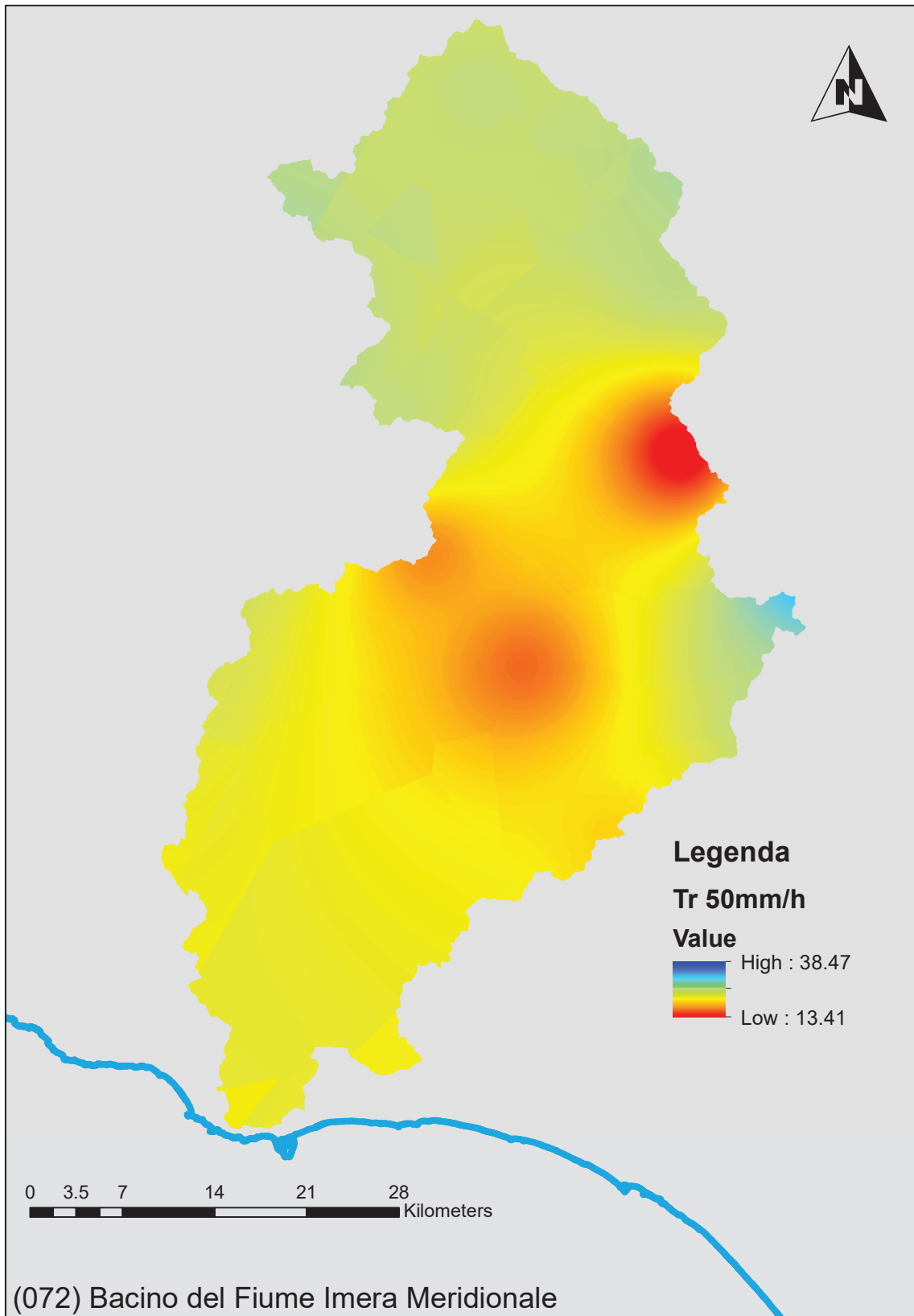


Figura 7 Tempo di ritorno della pioggia indice per il rischio di piene lampo nello scenario attuale (anni)

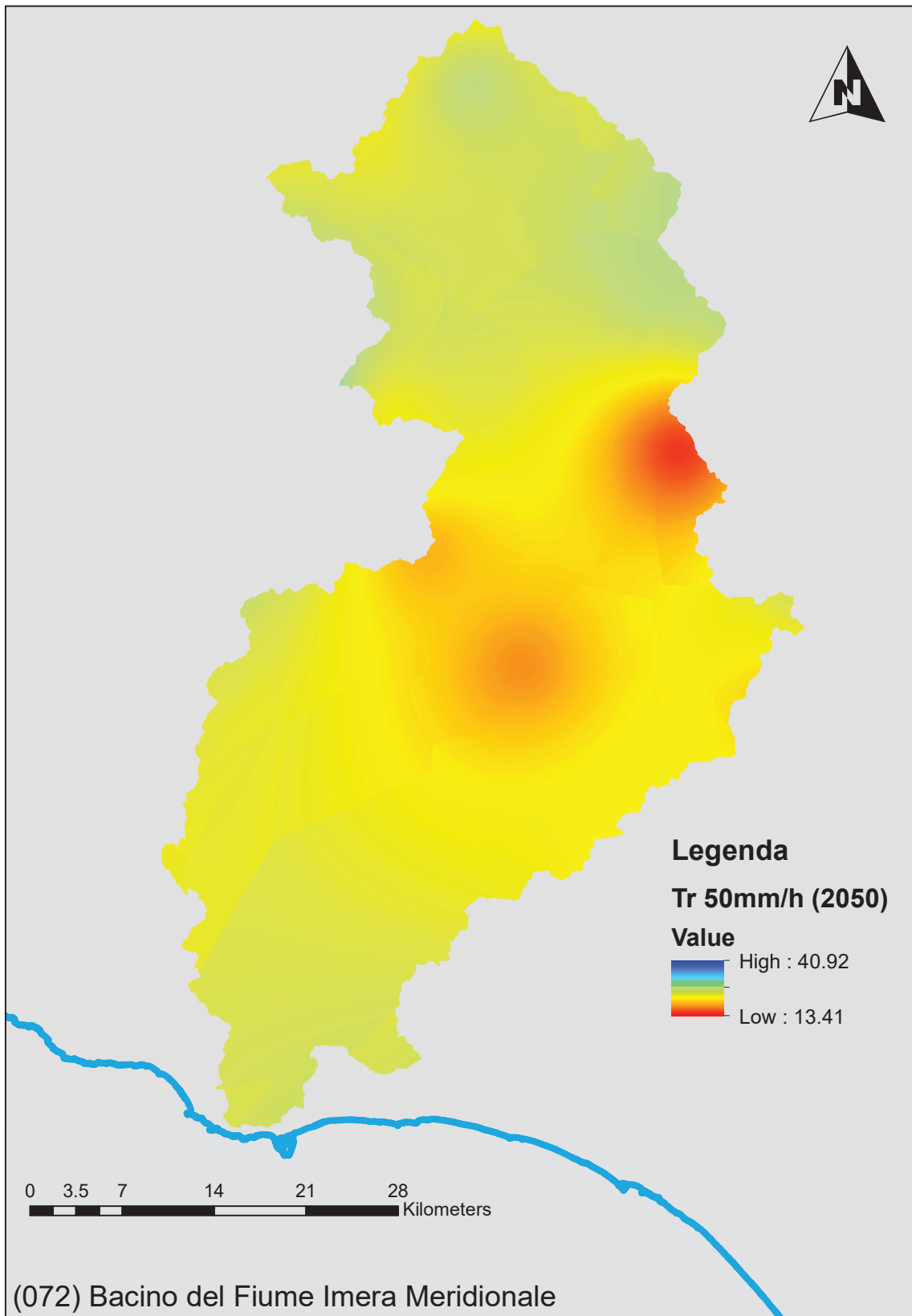


Figura 8 Tempo di ritorno della pioggia indice per il rischio di piene lampo nello scenario di medio termine al 2050 (anni)

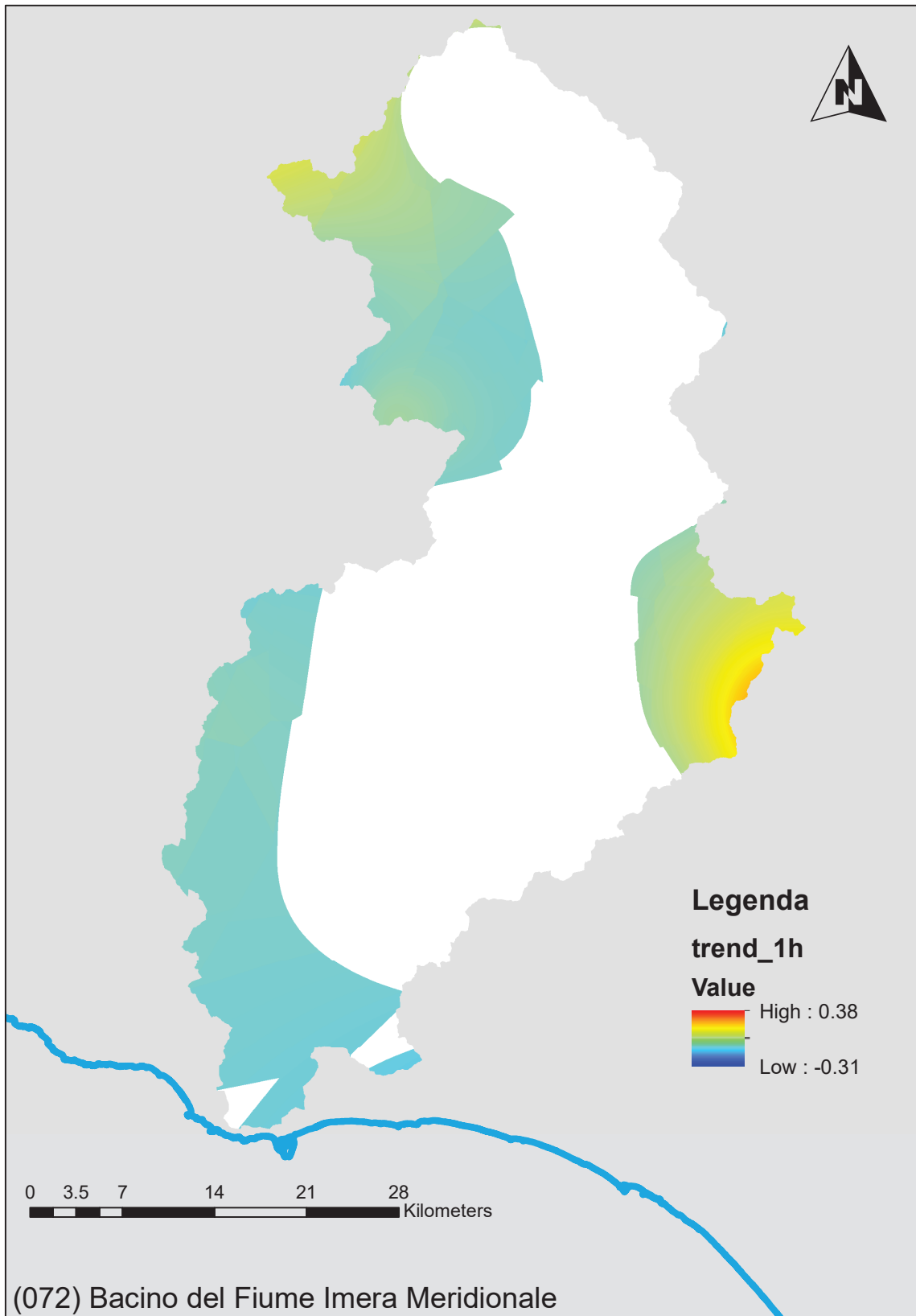


Figura 9 Trend climatico sulle piogge intense di fissata durata pari ad 1 h (mm/anno)

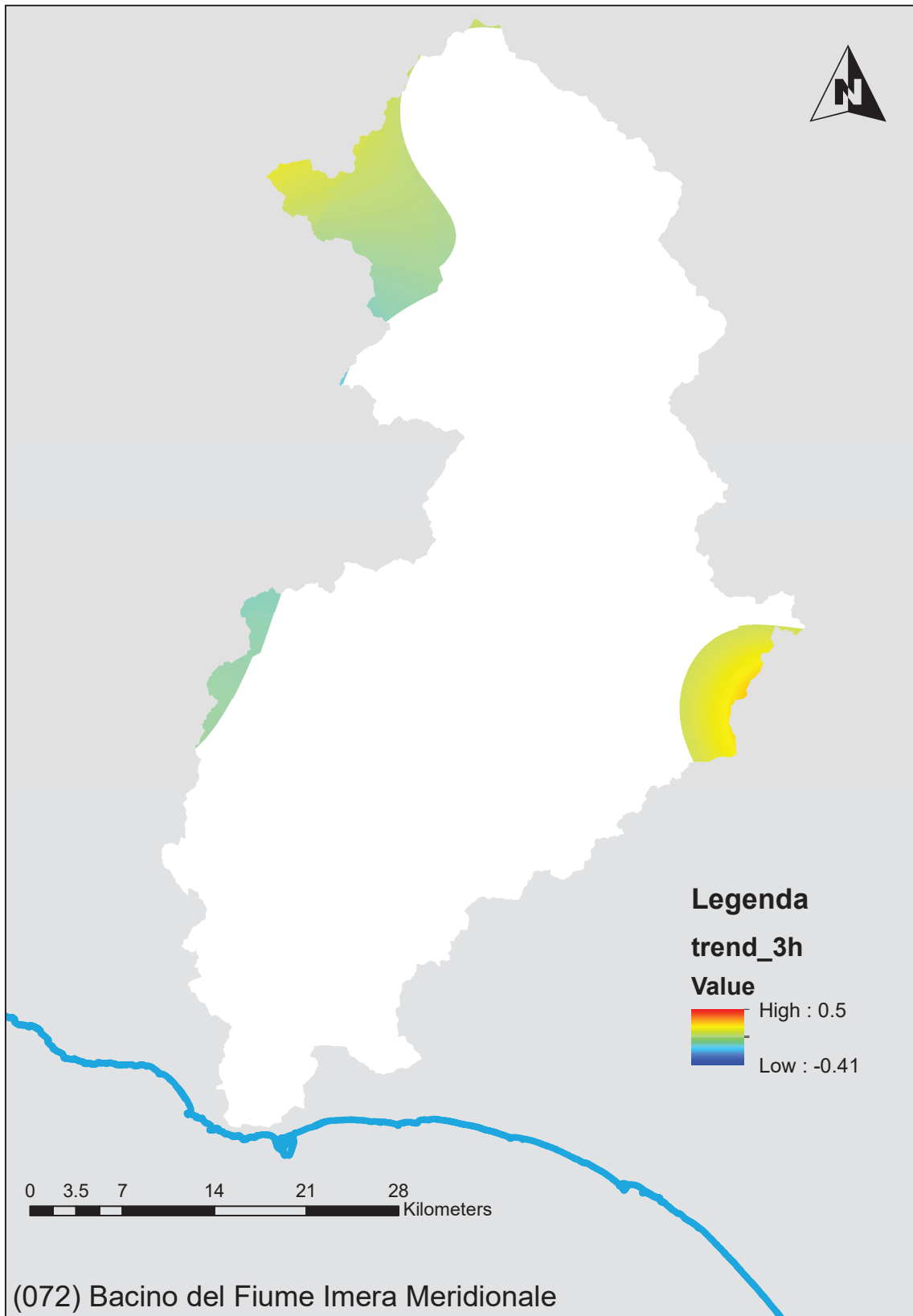


Figura 10 Trend climatico sulle piogge intense di fissata durata pari ad 3 h (mm/anno)

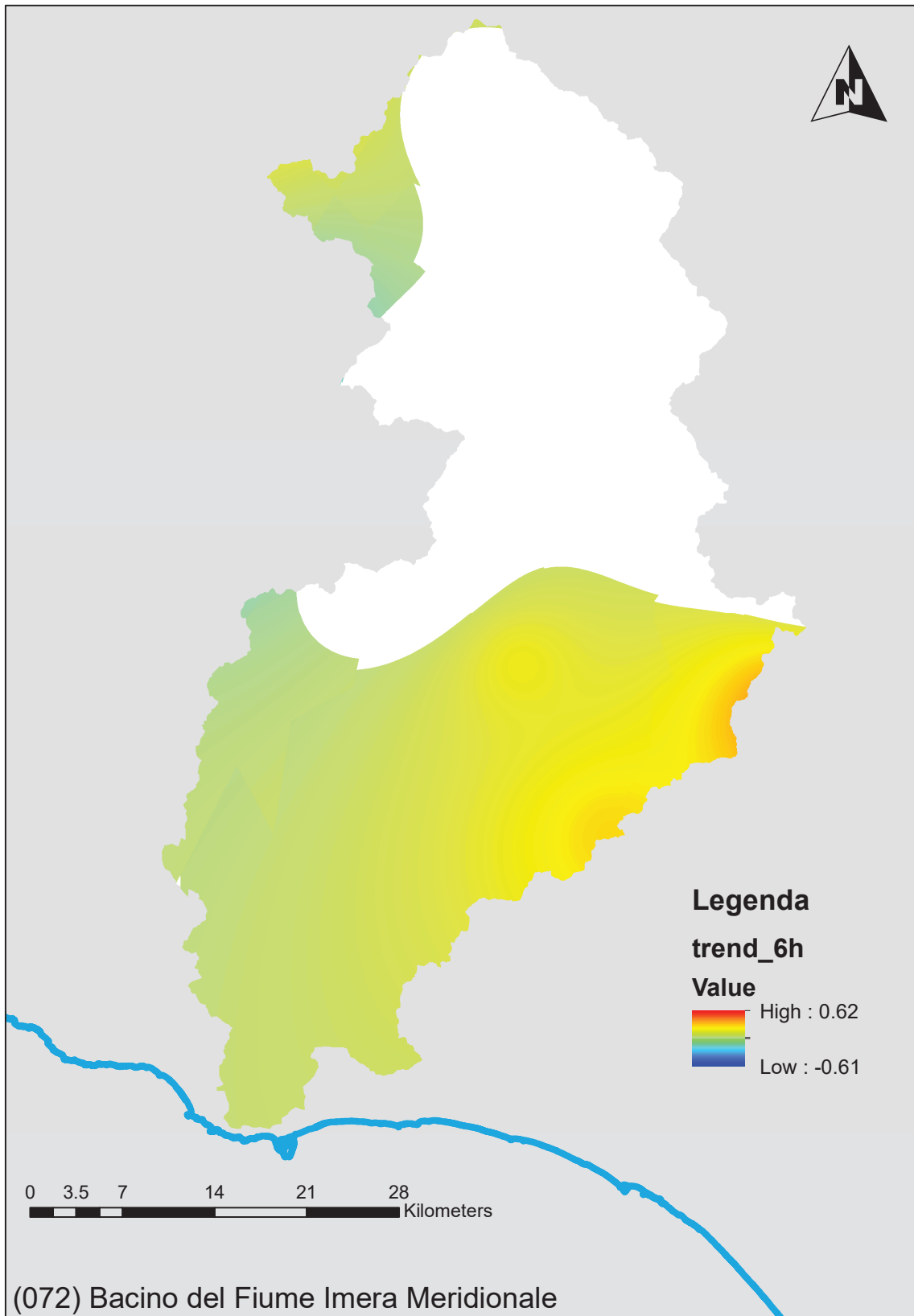


Figura 11 Trend climatico sulle piogge intense di fissata durata pari ad 6 h (mm/anno)

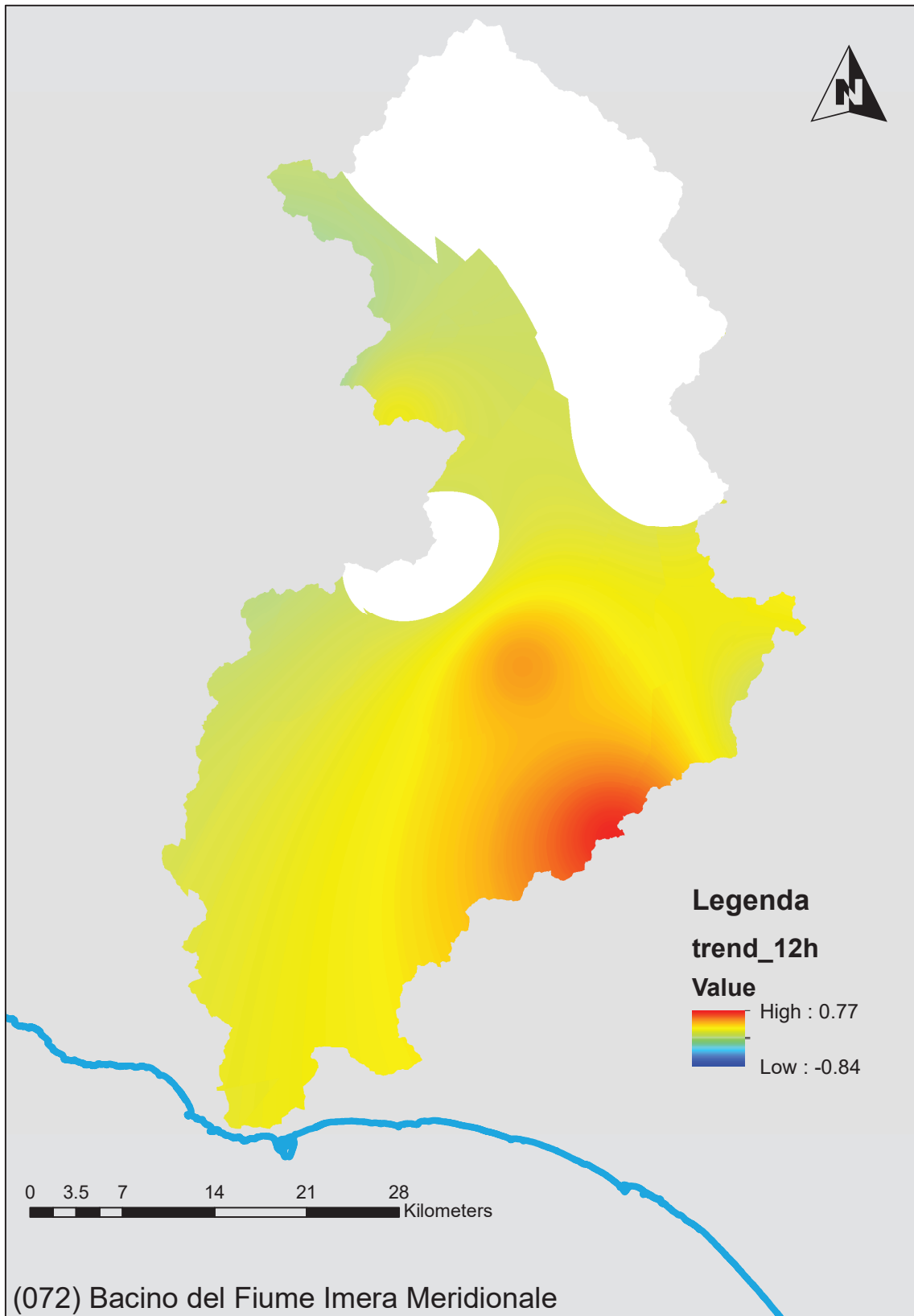


Figura 12 Trend climatico sulle piogge intense di fissata durata pari ad 12 h (mm/anno)

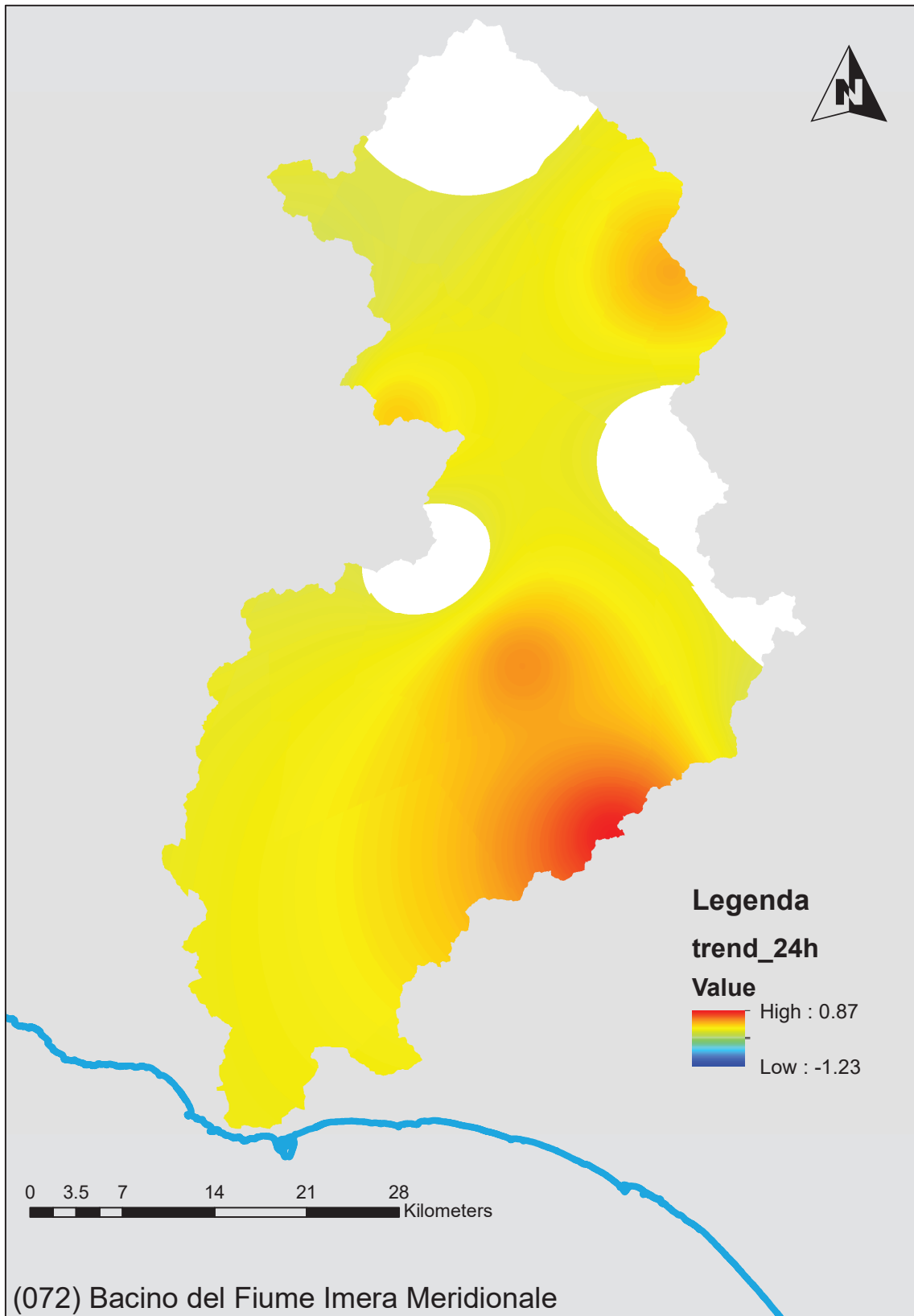


Figura 13 Trend climatico sulle piogge intense di fissata durata pari ad 24 h (mm/anno)

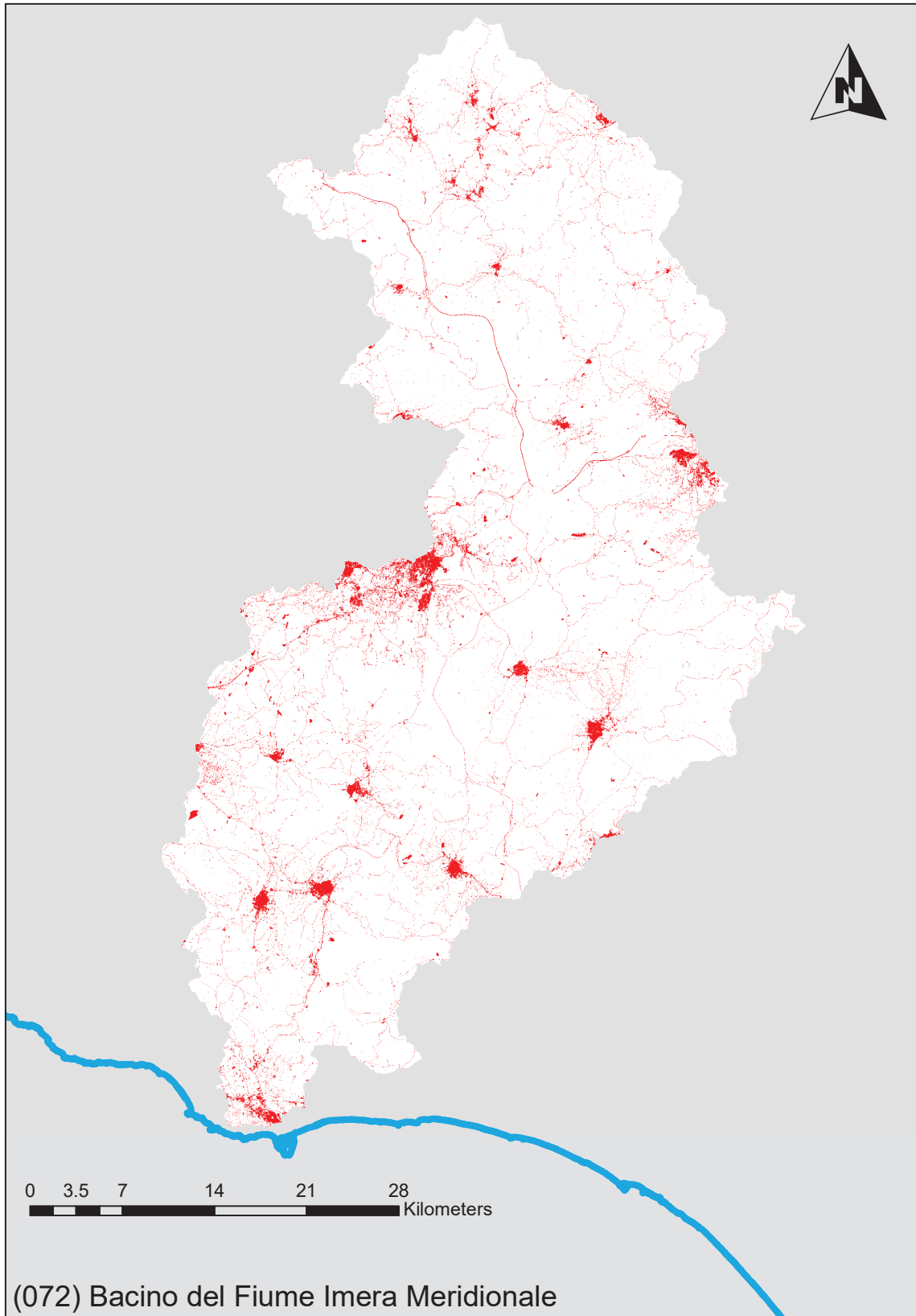


Figura 14 Rapporto tra la superficie di suolo consumato e l'area complessiva del bacino al 2019 (-)

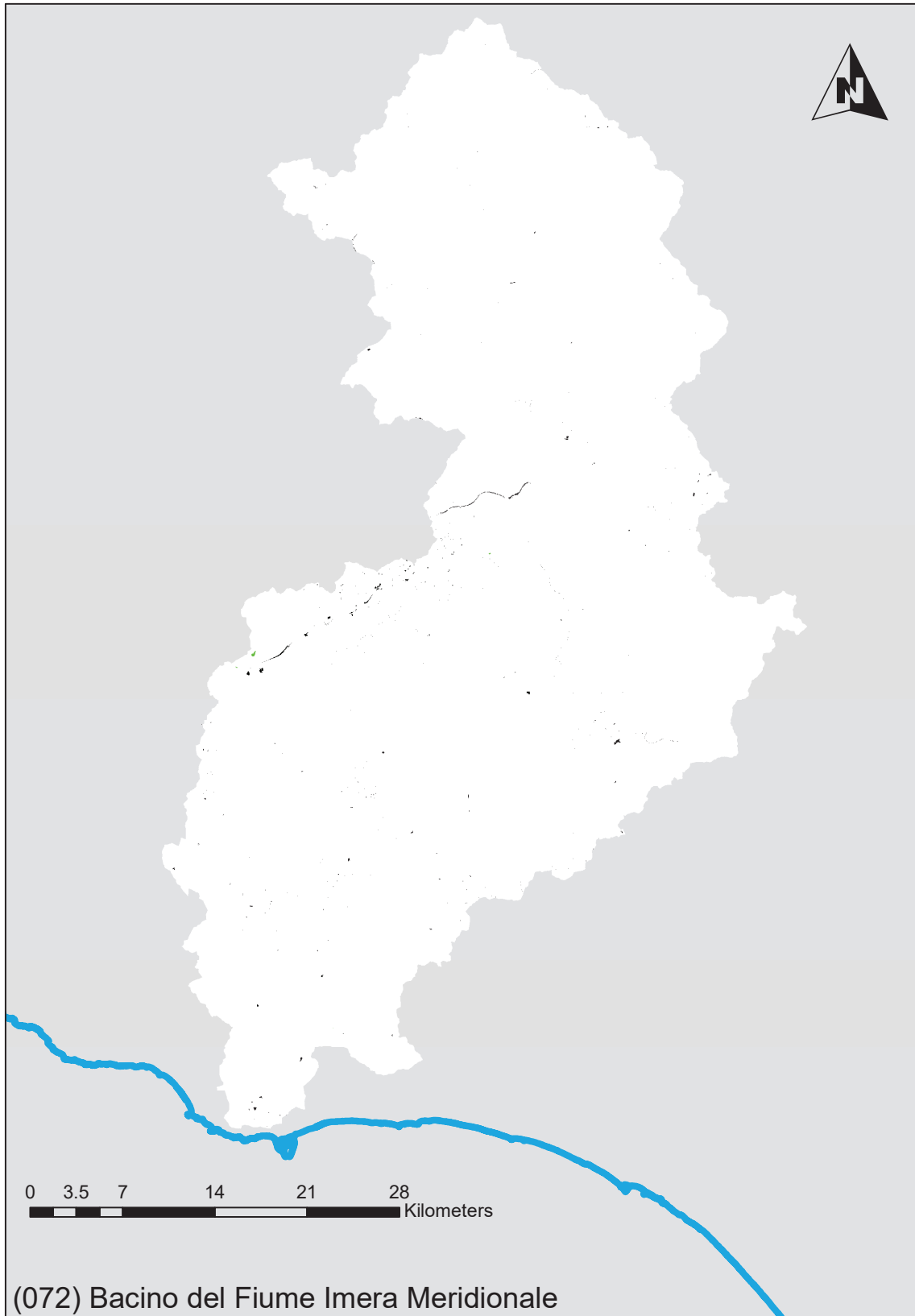


Figura 15 Variazione del consumo di suolo nel periodo 2012 – 2019: in verde le aree ripristinate a suolo naturale; in nero le aree consumate nel periodo di riferimento (-)

4 Valutazione della suscettibilità dei bacini alle piene lampo

Sulla base della metodologia Arno (*Brugioni et al.*, 2010), sono stati individuati 4 fattori predisponenti e ciascun fattore suddiviso in 4 classi di suscettibilità.

L'area dei sottobacini

- Minore di 3 km² – Classe 4 (Suscettibilità Molto Elevata)
- Da 3 a 5 km² – Classe 3 (Suscettibilità Elevata)
- Da 5 a 7 km² – Classe 2 (Suscettibilità Moderata)
- Maggiore di 7 km² – Classe 1 (Suscettibilità Bassa)

Il tempo di Lag del sottobacino valutato sulla base delle formulazioni proposte da Brugioni et al. (2010)

- Minore di 0.6 h – Classe 4 (Suscettibilità Molto Elevata)
- Da 0.6 h a 1.2 h – Classe 3 (Suscettibilità Elevata)
- Da 1.2 h a 2 h – Classe 2 (Suscettibilità Moderata)
- Maggiore di 2 h – Classe 1 (Suscettibilità Bassa)

Il tempo di ritorno della pioggia intensa indice (50 mm in un'ora)

- Minore di 20 anni – Classe 4 (Suscettibilità Molto Elevata)
- Da 20 a 23.5 anni – Classe 3 (Suscettibilità Elevata)
- Da 23.5 a 27 anni – Classe 2 (Suscettibilità Moderata)
- Maggiore di 27 anni – Classe 1 (Suscettibilità Bassa)

Grado di consumo del suolo

- Maggiore del 30% – Classe 4 (Suscettibilità Molto Elevata)
- Da 20% al 30% – Classe 3 (Suscettibilità Elevata)
- Da 10% al 20% – Classe 2 (Suscettibilità Moderata)
- Minore del 10% – Classe 1 (Suscettibilità Bassa)

Le tavole relative ai 4 fattori sono stati riportate nel seguito. La figura 11 riporta la media pesata dei 4 fattori attribuendo ciascun bacino ad una differente classe di suscettibilità.

Il valore del tempo di lag è funzione del tempo di corrivazione che è a sua volta è stato calcolato con le molteplici formulazioni proposte in letteratura e che di seguito sono riportate.

$$\text{Giandotti} = (4 \cdot A^{0.5} + 1.5 \cdot L) / (0.8 \cdot (Q_{\text{med}} - Q_{\text{min}})^{0.5})$$

$$\text{Kirpick} = 0.000325 \cdot (L \cdot 1000)^{0.77} \cdot i_b^{-0.385}$$

$$\text{Johnstone and Cross} = (3.258 \cdot (D_{\text{max}} / i_b)^{0.5}) / 60$$

$$\text{California Culvert Practice} = ((11.9 \cdot (L \cdot 0.621371)^3) / ((Q_{\text{max}} - Q_{\text{min}}) \cdot 3.28084))^{0.385}$$

$$\text{NRCS SCS} = (((1000 / \text{CN}) - 9)^{0.7} \cdot (D_{\text{max}} \cdot 1000)^{0.8}) / (441 \cdot (i_b \cdot 100)^{0.5})$$

$$\text{Pezzoli} = 0.055 \cdot L / i_a^{0.5}$$

$$\text{Puglisi} = 6 \cdot \text{LunghezzaAsta}^{2/3} \cdot (Q_{\text{max}} - Q_{\text{min}})^{-1/3}$$

$$\text{Ventura} = 0.1272 \cdot (A / i_a)^{0.5}$$

$$\text{Tournon} = ((0.396 \cdot L) / (i_a)^{0.5}) \cdot ((A / L^2) \cdot (i_a) / i_b)^{0.5})^{0.72}$$

$$\text{Pasini} = 0.108 \cdot ((A \cdot L)^{1/3}) / (i_a)^{0.5}$$

$$\text{Viparelli} = L / (3.5 \cdot 1.5)$$

Dove:

- A [Km²], Area del bacino idrografico
- L [Km], Lunghezza dell'asta principale
- Q_{max} [m], Quota massima del bacino idrografico
- Q_{med} [m], Quota media del bacino idrografico
- Q_{min} [m], Quota minima del bacino idrografico
- CN [0-100], Curve Number
- D_{max} [Km], Distanza massima tra lo spartiacque e la sezione di chiusura
- i_b [m/m], Pendenza media del bacino idrografico
- i_a [m/m], Pendenza media dell'asta principale
- V, Velocità media di deflusso all'interno dei canali, i valori suggeriti dell'autore sono compresi tra [1;1.5] m/s, nell'applicazione online si assume il limite superiore.
- P[Km], Perimetro del bacino idrografico

I fattori relativi alla variabile climatica ed al consumo di suolo sono stati rivalutati anche sulla base dello scenario al 2050 adottando i trend stimati nella relazione generale offrendo così anche un quadro evolutivo della situazione nel corso del prossimo trentennio (Figure 20, 21 e 22).

La Tabella 1 mostra gli indicatori numerici dei 4 criteri per ciascun sottobacino che conducono alla divisione in classi rappresentata nelle figure.

L'analisi del bacino mostra che i fattori morfologici indirizzano l'attenzione verso alcuni sottobacini tributari delle aste principali e che sono caratterizzati da maggiori pendenze e piccole lunghezze dei percorsi di deflusso. I fattori climatici non sembrano essere discriminanti tra i sottobacini ma posizionano comunque l'intero bacino nella classe 3 di suscettibilità con tempi di ritorno delle piogge indice che risultano mediamente bassi. I fattori climatici non variano nello scenario di medio termine a causa della scarsa significatività del trend per le piogge di breve durata che, chiaramente influenzano questo tipo di analisi.

Il consumo di suolo sia al 2020 che al 2050 ricade per la quasi totalità del bacino in classe 1 a cui corrispondono percentuali minori del 10%. Nello scenario di suscettività al 2020, l'analisi complessivamente non individua alcun sottobacino in classe 4 per il quale il rischio di piene lampo è molto elevato e per cui è opportuno procedere alla definizione di misure specifiche. Nello scenario al 2050, il livello di suscettività aumenta per alcuni sottobacini che passano dalla classe 2 alla 3.

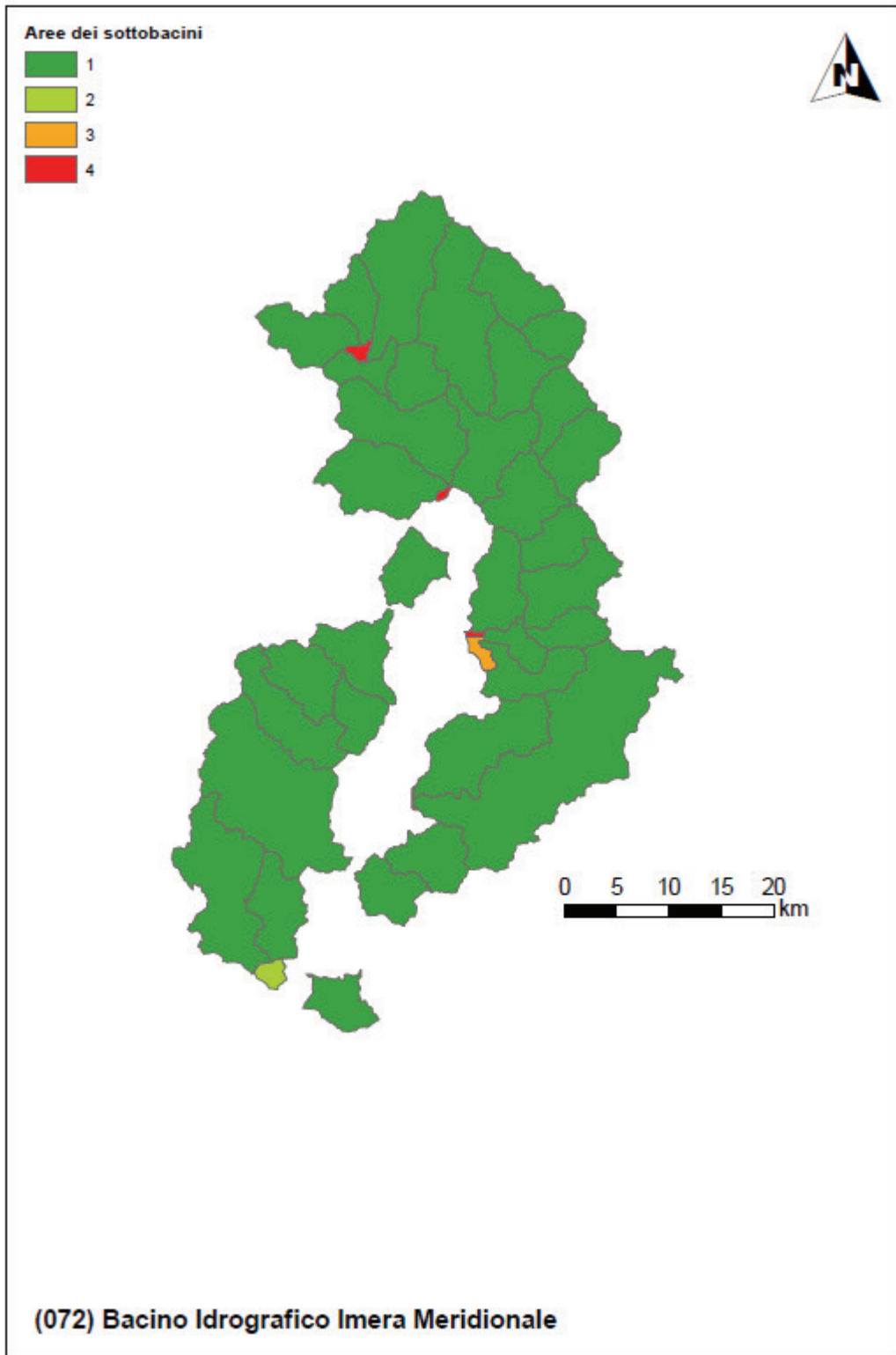


Figura 16 Fattore predisponente alle piene lampo legato all'area del sottobacino drenato

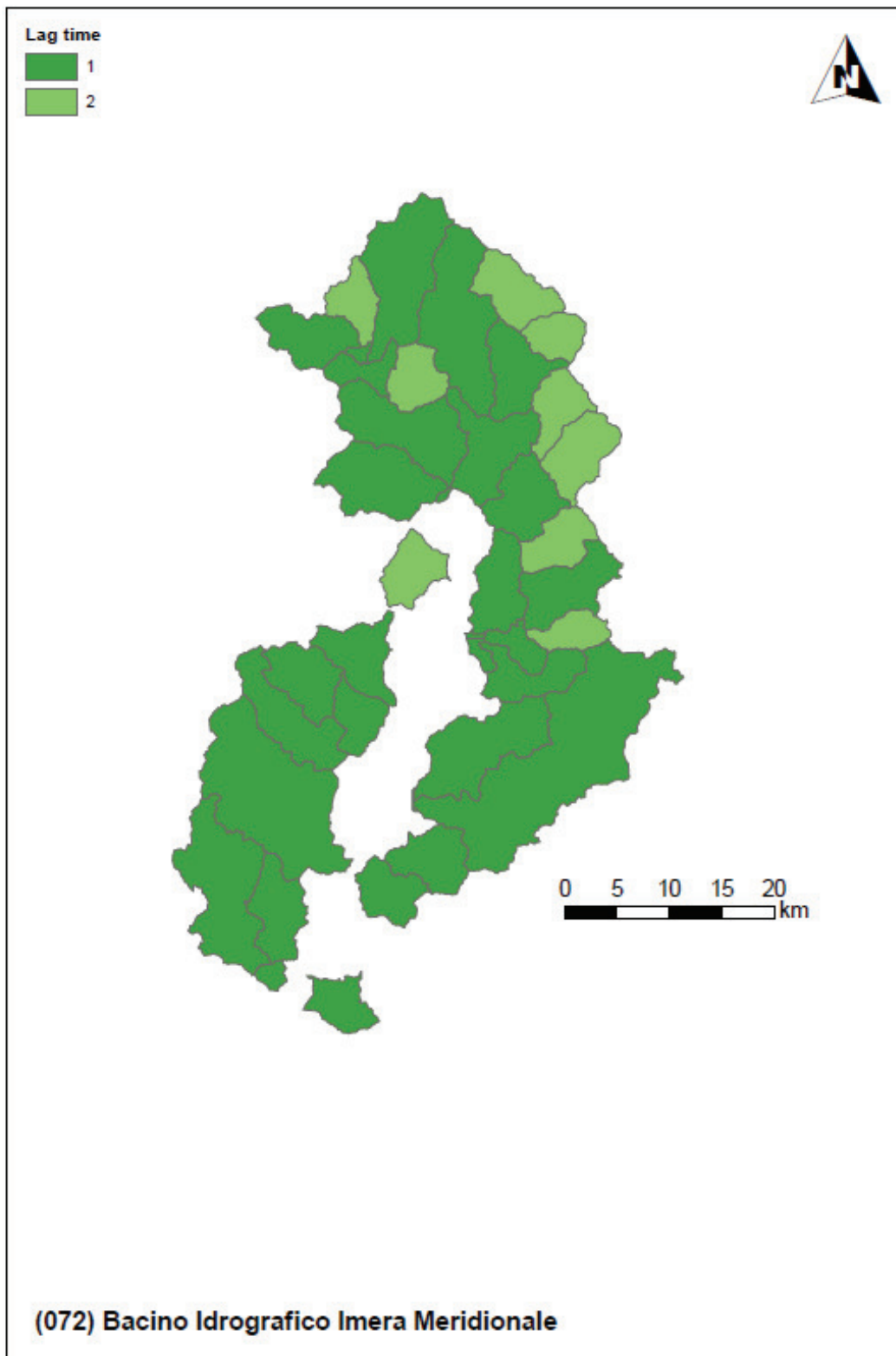


Figura 17 Fattore predisponente legato al tempo di lag del sottobacino drenato

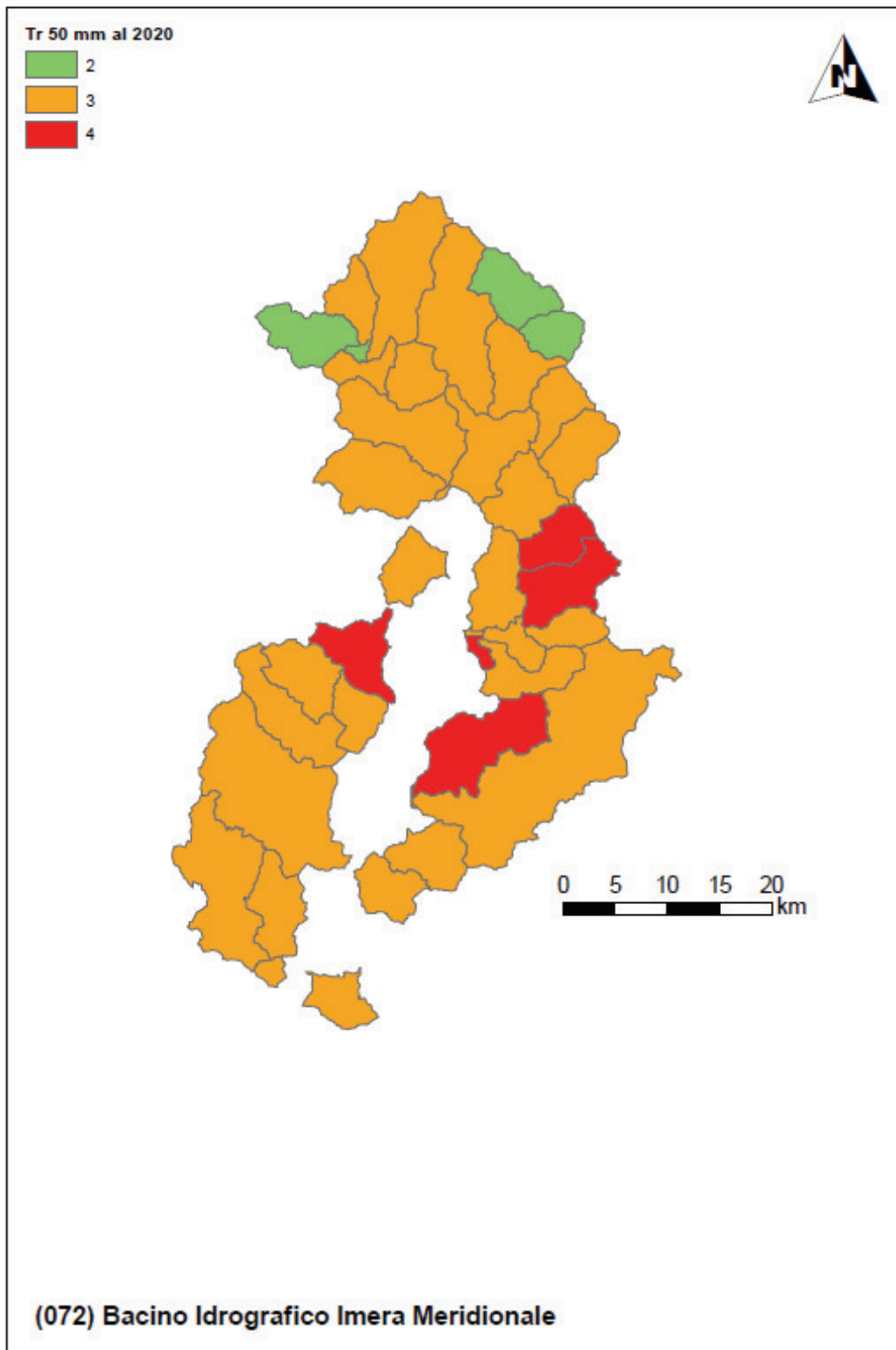


Figura 18 Fattore predisponente legato al tempo di ritorno della pioggia indice (Scenario Attuale)

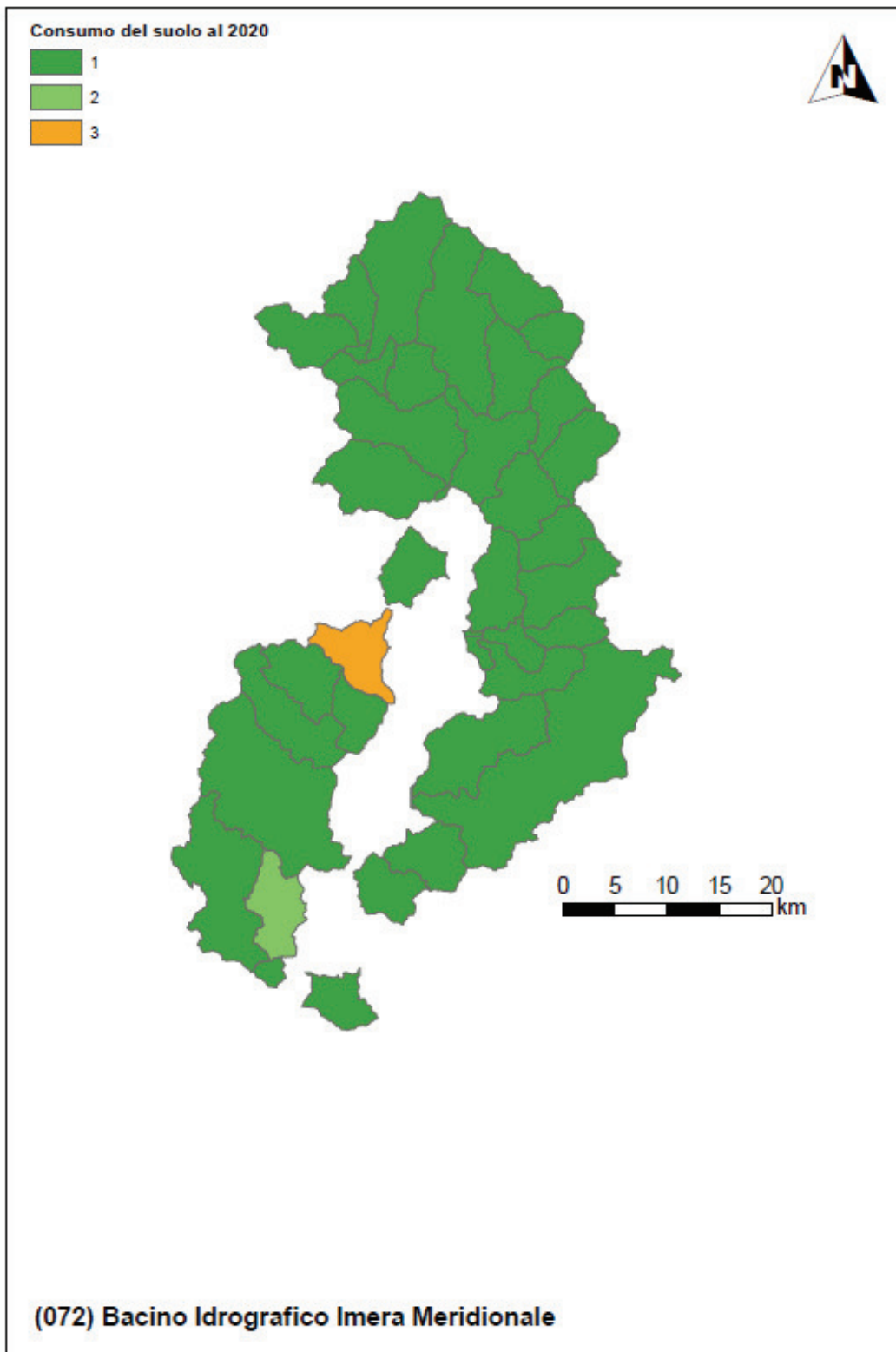


Figura 19 Fattore predisponente legato al consumo di suolo (Scenario Attuale)

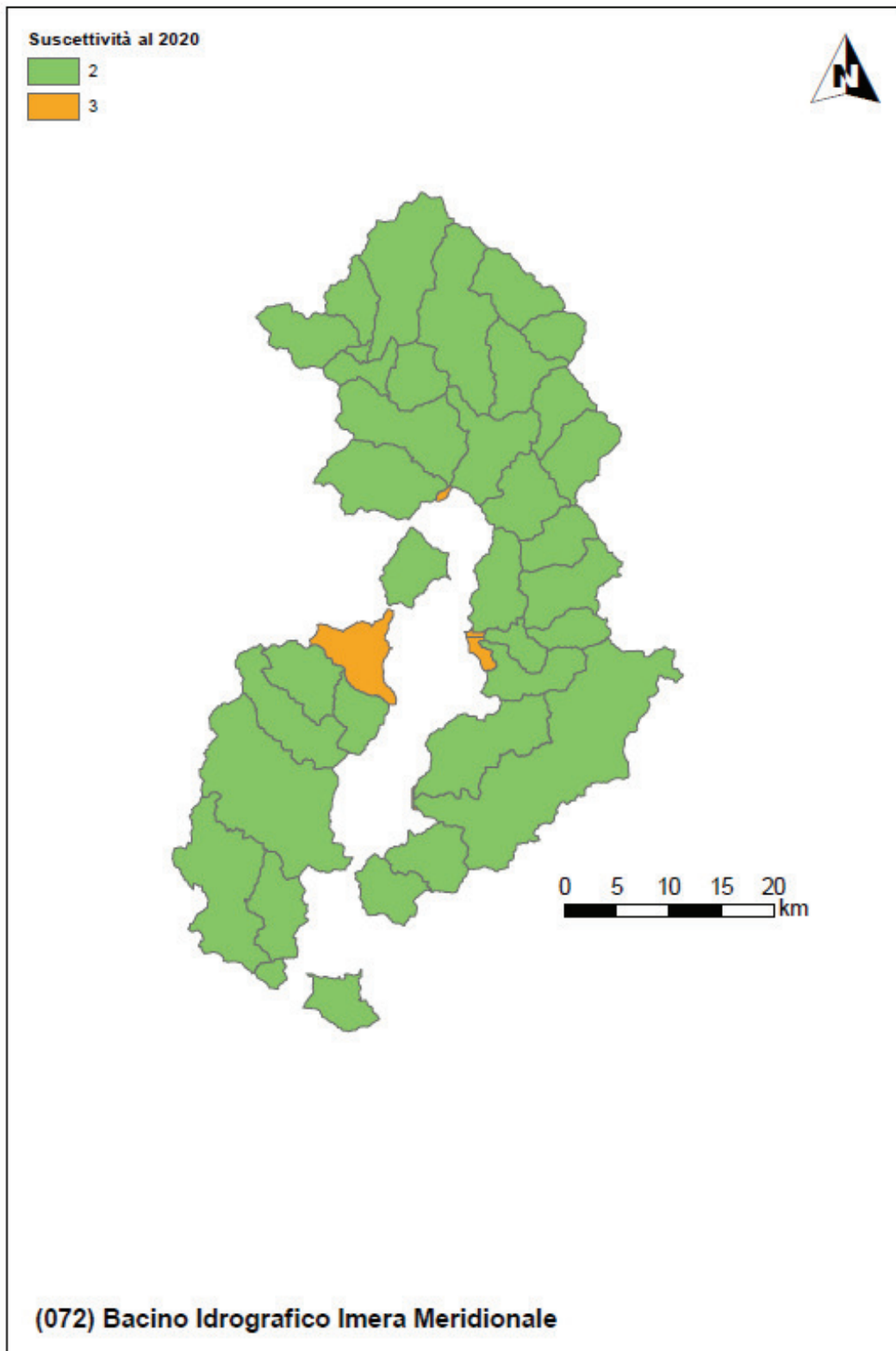


Figura 20 Sintesi della suscettibilità alle piene lampo (Scenario Attuale)

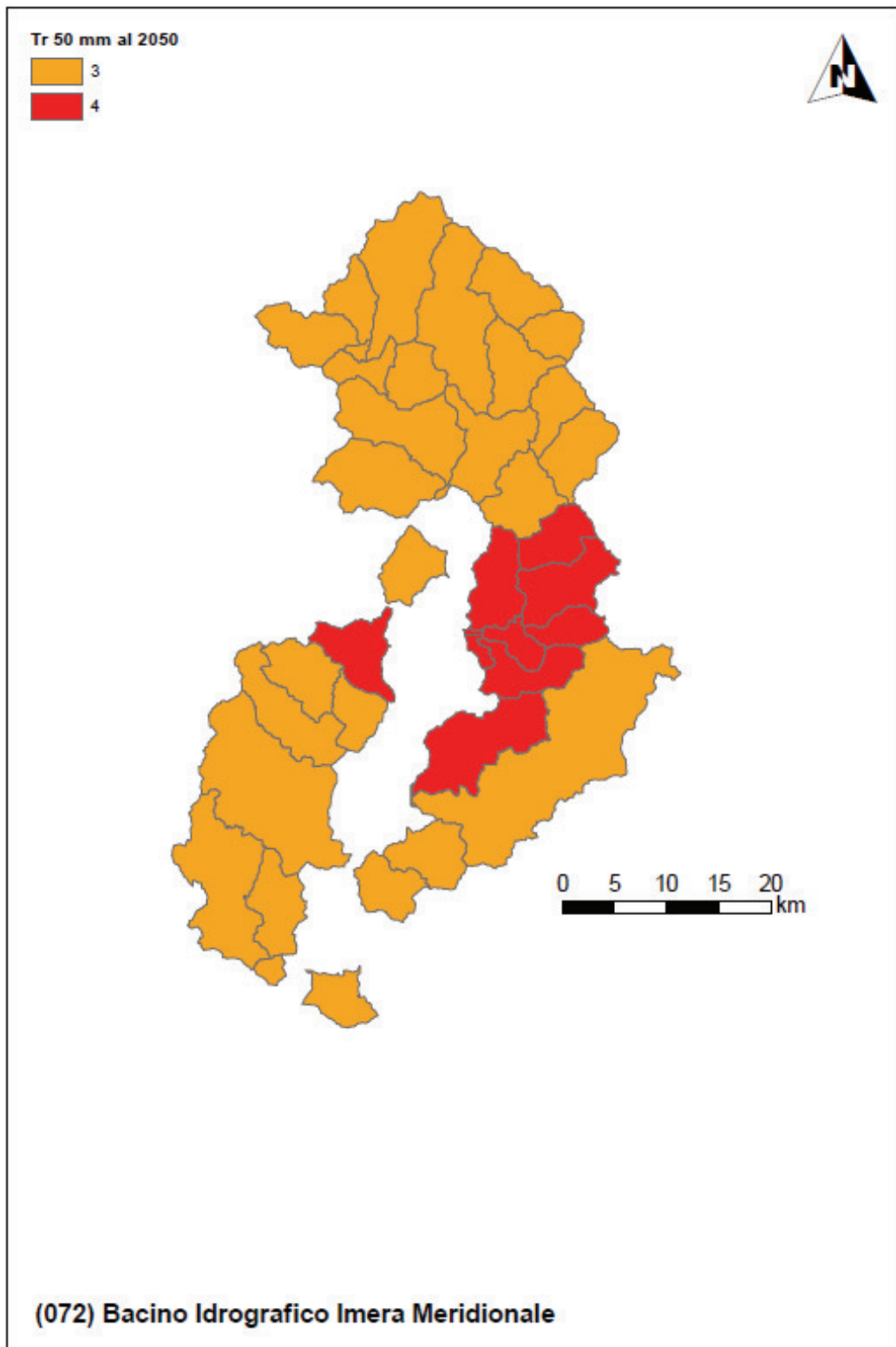


Figura 21 Fattore predisponente legato al tempo di ritorno della pioggia indice (Scenario al 2050)

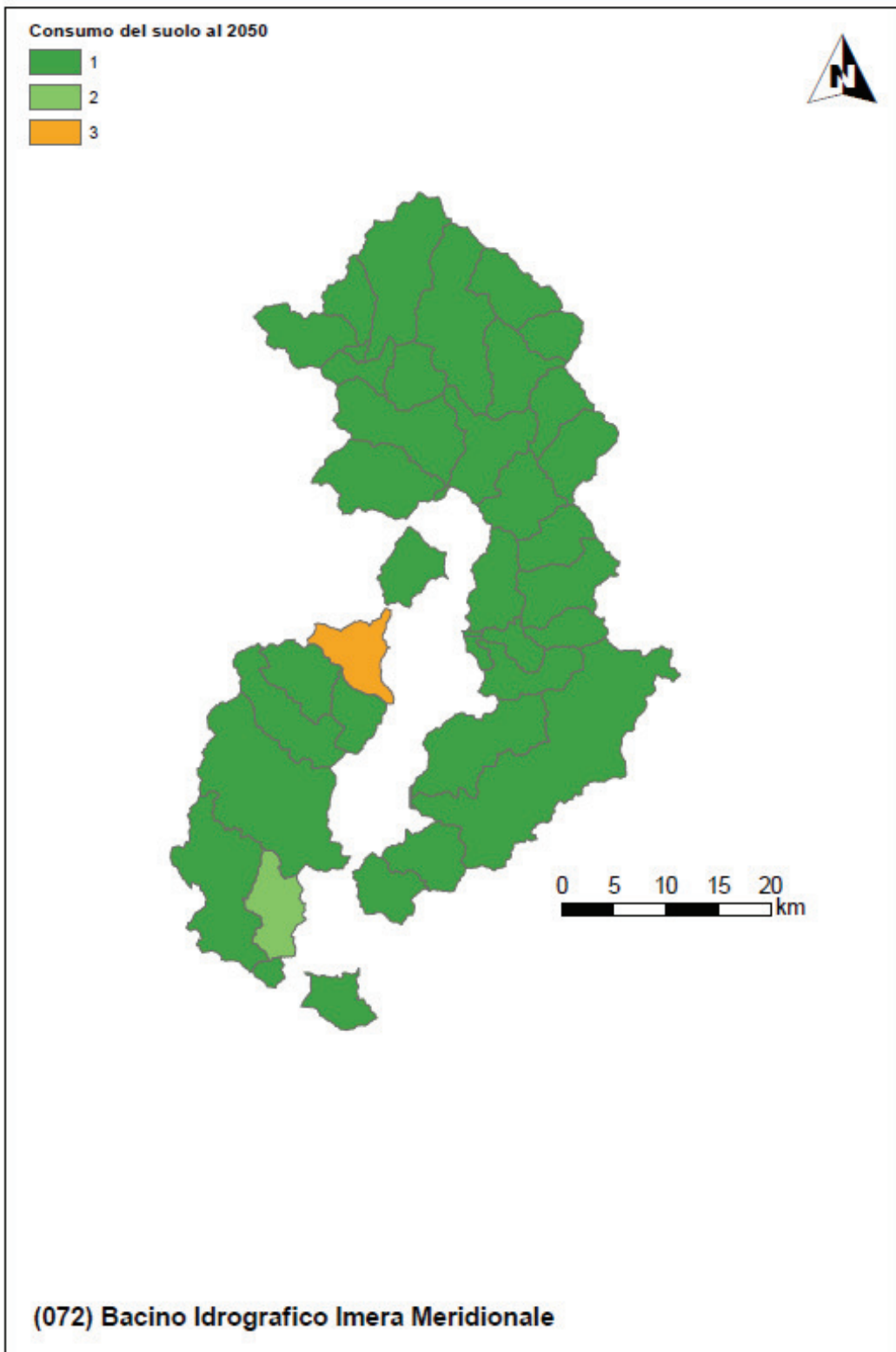


Figura 22 Fattore predisponente legato al consumo di suolo (Scenario al 2050)

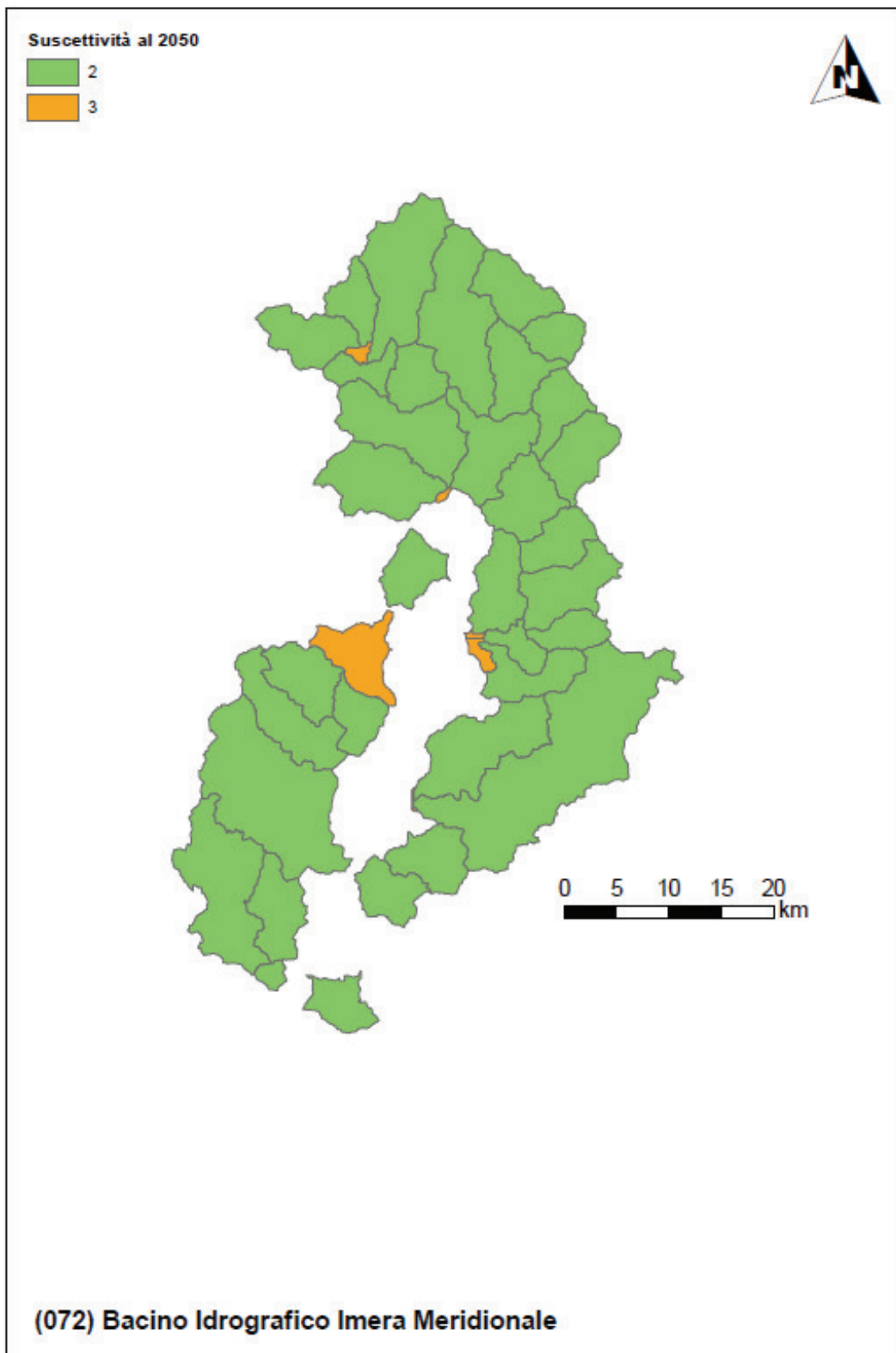


Figura 23 Sintesi della suscettibilità alle piene lampo (Scenario al 2050)

Tabella 1 Indicatori numerici relativi ai criteri di valutazione della suscettibilità alle piene lampo (Brugioni et al., 2010)

(072) Bacino Idrografico del Fiume Imera Meridionale

Valori, rispettivamente, dell'area, lag time, tempo di ritorno corrispondente alla pioggia di 50mm in 1 ora al 2020 e con proiezione al 2050 e consumo del suolo al 2020 e 2050 per ciascuno dei sottobacini.

IDs	Area [kmq]	Lag time [h]	Tempo di ritorno 50mm/1h al 2020 [anni]	Tempo di ritorno 50mm/1h al 2050 [anni]	Consumo del suolo 2020 [%]	Consumo del suolo 2050 [%]
1	24.08	1.90	23.30	21.84	3.64	3.68
3	77.87	2.62	23.37	22.60	3.91	3.93
4	85.88	2.97	23.28	22.77	2.83	2.90
5	37.03	1.98	23.62	22.79	4.35	4.56
6	21.17	1.48	23.91	23.50	0.67	0.67
9	37.00	2.22	23.74	22.36	2.19	2.41
11	2.91	2.25	23.59	22.56	2.54	2.54
12	17.53	3.22	23.47	22.69	2.41	2.98
13	65.38	4.79	22.99	22.55	2.54	2.60
14	59.14	2.80	23.26	22.10	2.38	2.62
20	38.39	2.63	23.44	23.26	1.17	1.17
22	27.60	1.89	23.03	22.54	3.10	3.10
26	49.42	3.97	22.37	22.20	1.38	1.58
27	28.28	1.94	23.46	23.47	2.07	2.15
28	40.22	3.41	20.28	20.12	4.39	4.51
29	37.19	1.96	22.00	22.00	1.99	2.02
30	1.10	4.82	22.39	21.83	4.80	4.80
31	44.39	6.01	21.41	20.99	2.62	3.95
33	38.07	4.37	20.28	19.93	2.56	2.63
34	29.60	1.84	17.34	17.18	7.63	7.67
38	36.64	2.61	19.88	19.82	27.32	29.55
39	36.98	2.37	21.31	21.20	6.95	8.38
40	24.39	3.49	20.30	20.18	2.25	2.29
41	50.30	3.10	21.60	21.46	3.64	4.55
42	137.00	4.97	21.71	21.53	4.94	5.24
48	28.76	1.95	20.78	20.35	4.71	7.56
49	17.60	6.01	20.16	19.91	4.56	4.57
50	44.64	2.39	19.26	18.56	8.72	9.25
51	14.96	2.74	20.56	19.92	0.92	0.92
52	20.78	1.87	21.52	19.99	2.34	2.38
53	0.93	10.35	20.01	19.69	3.98	4.47
54	85.57	8.52	19.10	18.98	6.06	6.28
55	4.71	3.26	19.68	19.37	1.46	1.67
56	33.17	2.62	20.72	19.86	1.36	1.54
58	6.75	7.88	19.41	19.32	0.81	0.81
59	196.75	5.77	22.02	20.56	2.49	2.75
61	49.26	9.73	20.13	19.99	1.08	1.21
62	70.45	3.84	19.77	19.50	3.24	3.54
67	39.15	12.12	21.08	20.98	4.15	4.42

68	1.52	12.94	21.42	21.43	4.69	4.69
69	68.87	14.61	21.73	22.04	2.86	3.07
70	85.21	3.88	21.80	21.75	4.11	4.36
71	27.89	2.24	21.43	21.54	4.07	4.31
72	37.54	2.68	21.89	22.07	10.43	10.64
73	5.86	3.49	21.97	22.39	1.41	1.41
78	0.42	9.77	20.64	20.45	4.00	6.83
79	4.72	11.25	20.89	20.72	1.89	2.78
81	34.60	2.35	21.06	21.03	6.79	6.89
85	11.84	15.27	21.94	22.50	1.98	1.98
86	24.00	2.06	21.51	22.51	1.70	1.81
87	47.05	15.76	21.96	22.54	7.64	8.51

5 Valutazione della suscettibilità delle piene ai trend climatici

Per quanto riguarda i tratti fluviali i cui bacini sono caratterizzati da tempi di corrivazione superiore all'ora si è proceduto ad un'ulteriore analisi dell'impatto dei trend climatici sul rischio. Per questi casi, l'utilizzo della variabile idrologica proposta dal metodo Arno (Brugioni et al., 2010) non risulta congrua rispetto ai tempi di corrivazione del bacino e, di conseguenza, in questi casi si è preferito stimare il trend climatico medio per durate prossime al tempo di corrivazione. Quest'ultimo è stato stimato attraverso le formulazioni proposte dal metodo Arno calcolando il valore medio delle sole formule empiriche che risultano compatibili con le caratteristiche morfologiche del bacino.

Nel caso in cui il tempo di corrivazione del bacino sia intermedio rispetto a due durate di cui si dispone dell'analisi idrologica, il trend è stato valutato tramite interpolazione tramite legge di potenza.

La seguente figura mostra, nello scenario climatico di medio termine (2050), e per ciascuna sezione di chiusura (individuata con inter-distanza minima pari a 10 m) la variazione percentuale media delle piogge intense per durate assimilabili al tempo di corrivazione dell'area drenata.

L'analisi mostra un trend poco rilevante sulle piogge intense di breve durata e talvolta negativo. Di conseguenza, è prevedibile che le portate di piena debbano rimanere sostanzialmente invariate o diminuire leggermente seguendo il possibile sviluppo dell'attuale trend climatico nella maggior parte del bacino. Piccole aree in sinistra idraulica evidenziano trend significativi e positivi e determinano l'applicazione di misure di mitigazione.